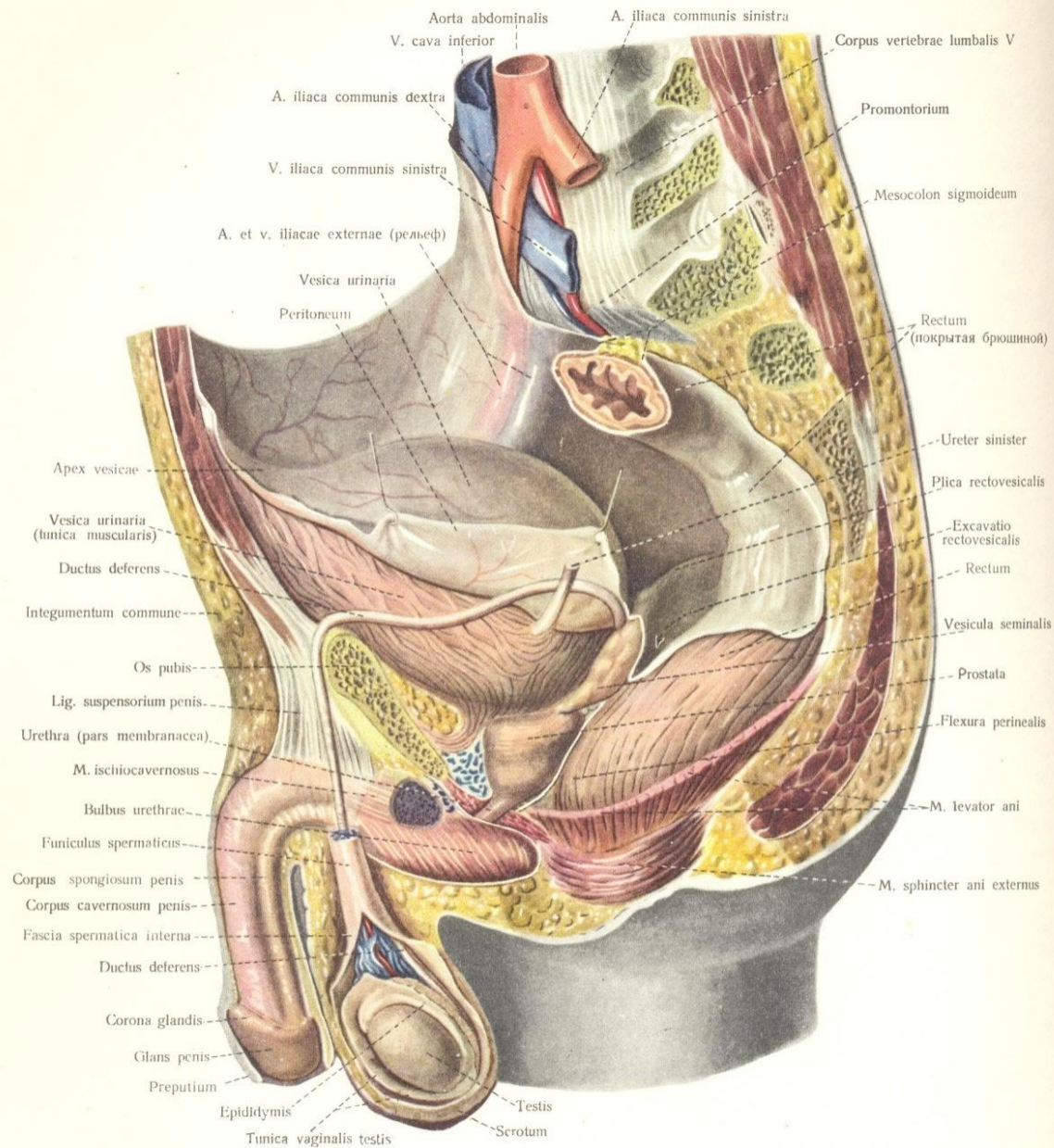


Мужские половые органы

Organa genitalia masculina



547. Мужские половые органы, organa genitalia masculina; слева ($\frac{2}{3}$).
 (Левые отделы стенок таза удалены.)

Наружные половые органы

- Половой член – penis, phallus impudicus (срамной сморчок)
- Мочеиспускательный канал – urethra masculina
- Мошонка – scrotum

Внутренние половые органы

- Яичко – testis, orchis, didymis
- Придаток яичка – epididymis
- Семявыносящий проток – ductus deferens
- Семенной канатик – funiculus spermaticus
- Семенной пузырек – vesicula seminalis
- Предстательная железа – prostata

Яичко (семенник)

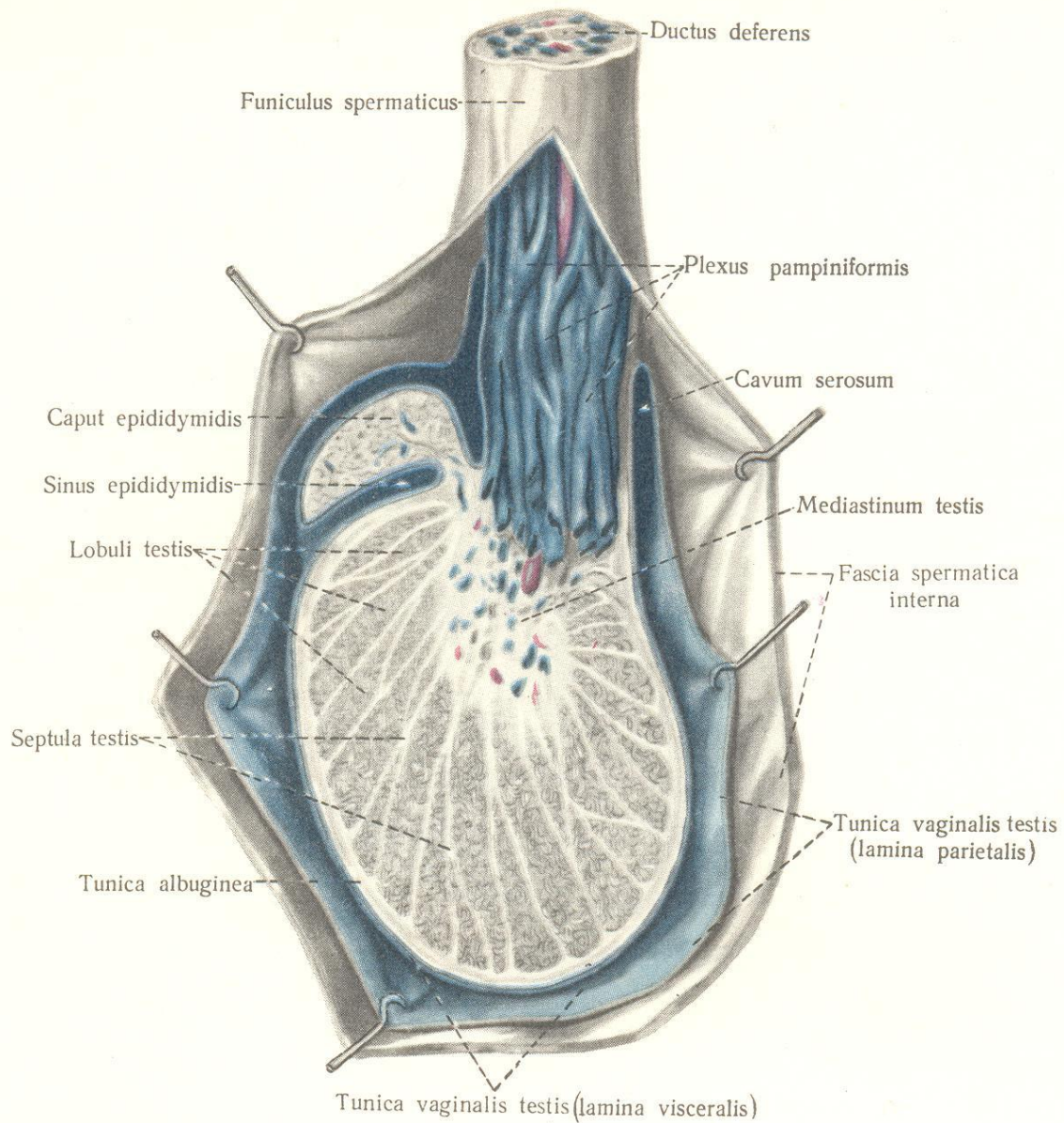
- Парная мужская половая железа.
- Функции: 1) образование сперматозоидов; 2) выделение андрогенов.
- Яички располагаются в мошонке.
- Левое яичко лежит ниже правого.
- Длина – 4-4,5 см; ширина – 3-3,5 см; толщина – 2-3 см.
- Масса: 25 лет – 45 гр., 40 лет – 40 гр., 70 лет – 30 гр.

Строение яичка

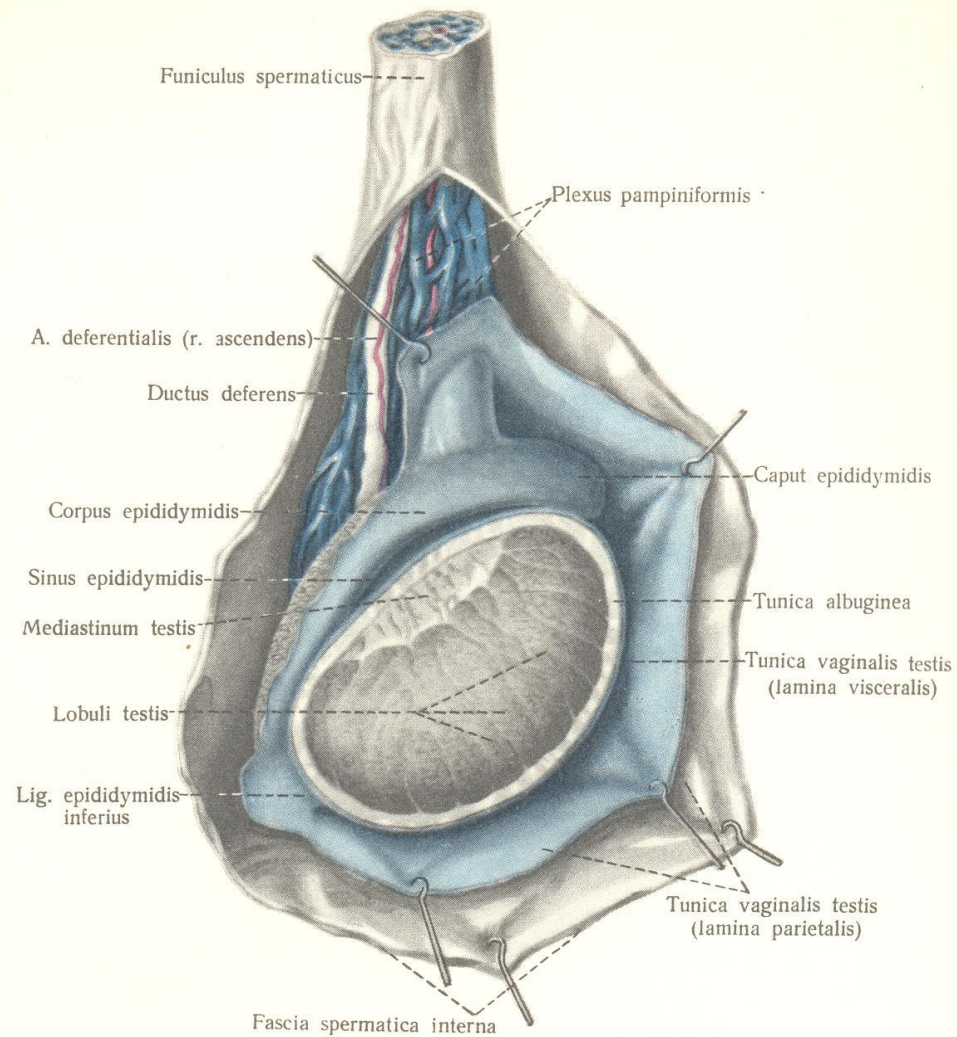
- *Facies medialis, lateralis.*
- *Margo anterior, posterior.*
- *Extremitas superior, inferior.*
- Верхний конец обращен кверху, кпереди, латерально; нижний – книзу, кзади, медиально.
- К заднему краю подходит *funiculus spermaticus* и придаток яичка (*epididymis*).

Яичко

- Окружено плотной фиброзной оболочкой беловатой окраски (сходной с вареным белком) – *tunica albuginea*. По заднему краю оболочка вдаётся внутрь паренхимы в виде неполной вертикальной перегородки (*mediastinum*).
- От медиастинума идут фиброзные перегородки – *septula testis*. Вся ткань яичка делится на дольки – *lobuli testis* (их 250-300).
- Придаток яичка окружен тонкой *tunica albuginea*.



553. Яичко и его придаток в разрезе ($1/1$).
 (Продольный разрез.)



552. Яичко, testis, и его придаток, epididymis, правые; боковая сторона ($1/1$).

[Белочная оболочка, tunica albuginea, и влагалищная оболочка яичка, tunica vaginalis testis (ее внутренностный листок), частично удалены.]

Протоки яичка и придатка яичка

- В каждой дольке – 1-3 извитых семенных канальца.
- 1) *Tubuli seminiferi contorti* – извитые семенные канальцы (общая длина – 1 км). Образование сперматозоидов.
 - 2) *Tubuli seminiferi recti* – прямые семенные канальцы. Входят в средостение и образуют сеть.
 - 3) *Rete testis* – сеть яичка. Из нее выходят выносящие канальцы яичка (12-15).

Протоки яичка и придатка яичка

- 4) *Ductuli efferentes testis* – выносящие каналы яичка. Идут в придаток.
- 5) *Ductus epididymidis* – проток придатка яичка. Извитой, длина – 7-8 см.
- 6) *Ductus deferens* – семявыносящий проток.

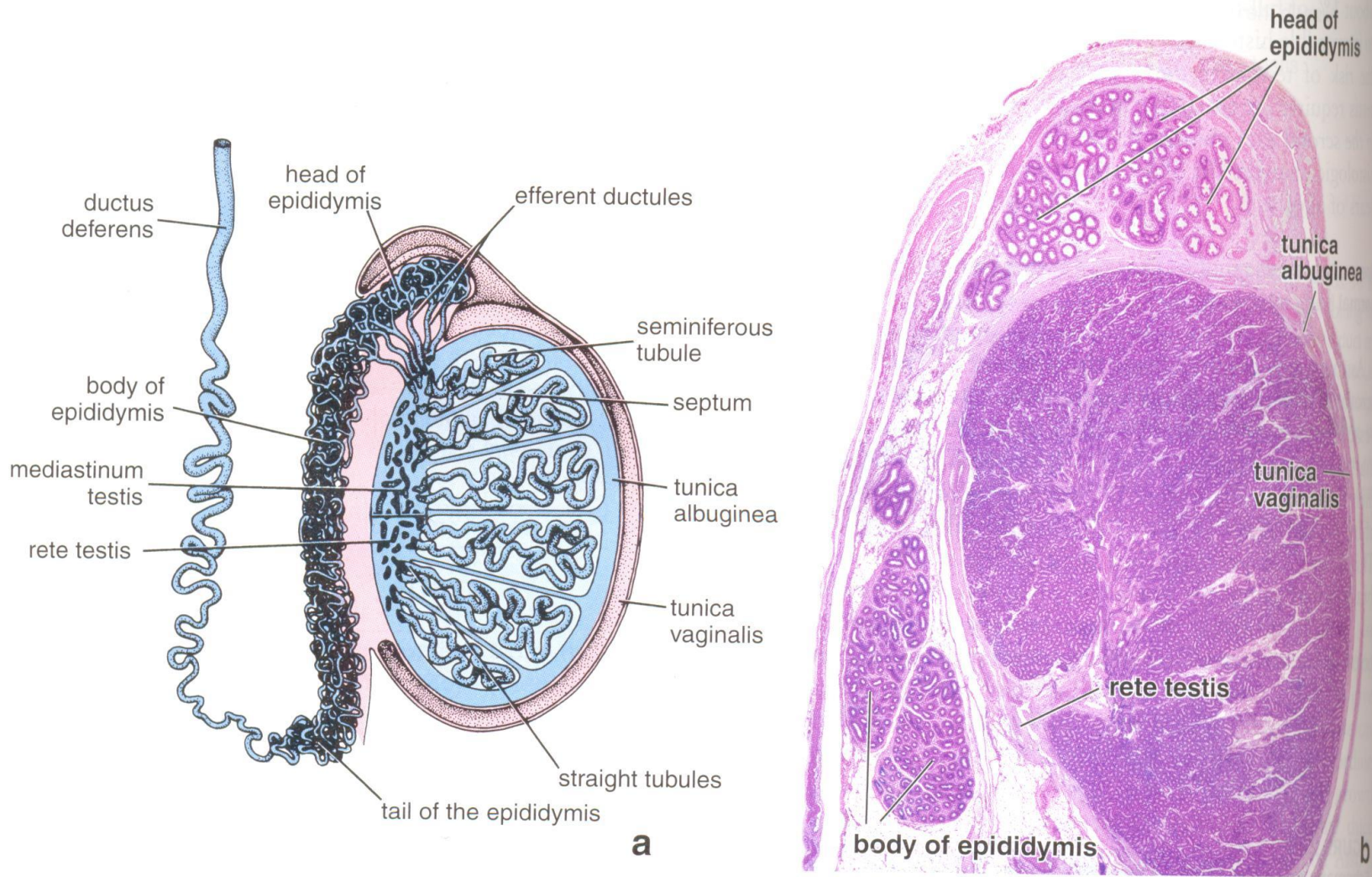


FIGURE 21.4

Sagittal section of the human testis. a. This schematic diagram shows a midsagittal section of the human testis. The genital duct system, which includes the tubuli recti, rete testis, efferent ducts, duct of the epididymis, and ductus deferens, is also shown. Note the thick connective tissue covering, the tunica albuginea, and the surrounding tunica vaginalis. (Modified from Dym M. In: Weiss L, ed. *Cell and Tissue*

Biology: A Textbook of Histology. 6th ed. Baltimore: Urban & Schwarzenberg, 1988.) **b.** Sagittal section of a H&E-stained section of the testis and the head and body of the epididymis. Again note the surrounding tunica albuginea and tunica vaginalis. Only a small portion of the rete testis is visible in this section. Its connection with the excurrent duct system is not evident in the plane of this section. $\times 3$.

Физиология

- Придаток яичка – продвижение от головки до хвоста (14 дней), созревание спермиев по физиологическим, биохимическим и морфологическим параметрам.

ОРГАНЫ МУЖСКОЙ ПОЛОВОЙ СИСТЕМЫ

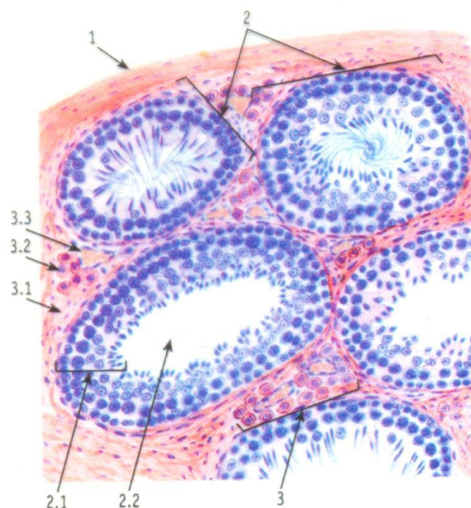


Рис. 228. Яичко (общий вид)

Окраска: гематоксилин – эозин

1 – белочная оболочка; 2 – извитые семенные канальцы; 2.1 – эпителиосперматогенный слой, 2.2 – просвет; 3 – интерстиций: 3.1 – волокнистая соединительная ткань, 3.2 – интерстициальные эндокриноциты (клетки Лейдига), 3.3 – кровеносные сосуды

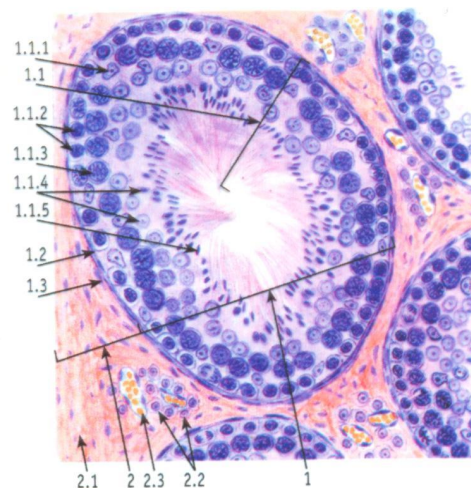


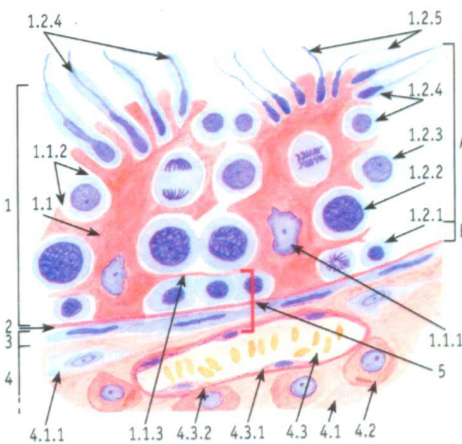
Рис. 229. Яичко. Извитые семенные канальцы и интерстиций

Окраска: гематоксилин – эозин

1 – извитой семенной каналец: 1.1 – эпителиосперматогенный слой, 1.1.1 – ядро sustentоцита, 1.1.2 – ядра сперматогоний, 1.1.3 – ядра первичных сперматоцитов, 1.1.4 – сперматиды, 1.1.5 – спермии, 1.2 – базальная мембрана, 1.3 – слой миоидных клеток; 2 – интерстиций: 2.1 – волокнистая соединительная ткань, 2.2 – интерстициальные эндокриноциты (клетки Лейдига), 2.3 – кровеносные сосуды

Рис. 230. Яичко. Участок стенки извитого семенного канальца и интерстиция (схема)

1 – эпителиосперматогенный слой: 1.1 – sustentоцит, 1.1.1 – ядро sustentоцита, 1.1.2 – карманы в цитоплазме с развивающимися в них сперматогенными клетками, 1.1.3 – латеральные отростки sustentоцитов, разделяющие каналец на базальный (Б) и адлюминальный (А) отделы, 1.2 – сперматогенные клетки: 1.2.1 – сперматогонии, 1.2.2 – первичные сперматоциты, 1.2.3 – вторичные сперматоциты, 1.2.4 – сперматиды, 1.2.5 – спермии; 2 – базальная мембрана; 3 – слой миоидных клеток; 4 – интерстиций: 4.1 – соединительная ткань, 4.1.1 – фибробласт, 4.2 – интерстициальный эндокриноцит (клетка Лейдига), 4.3 – кровеносный сосуд, 4.3.1 – эндотелиоцит, 4.3.2 – базальная мембрана; 5 – гематотестикулярный барьер



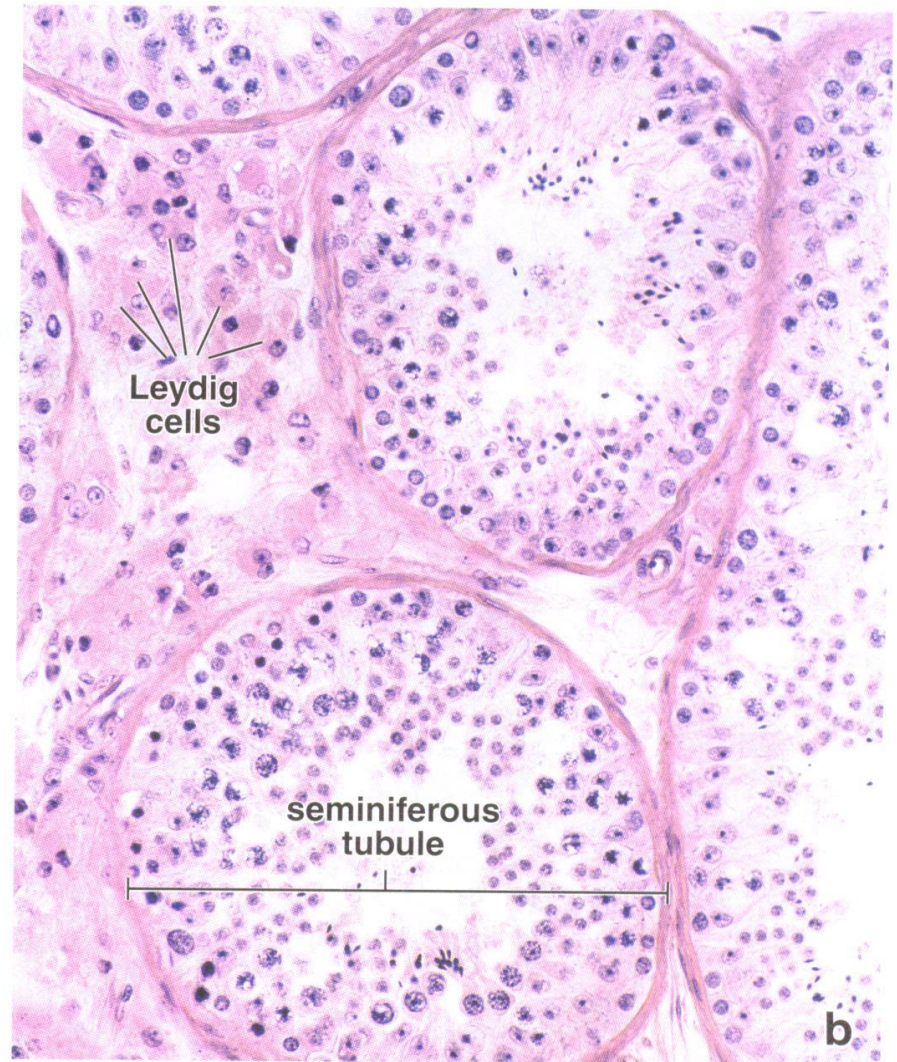
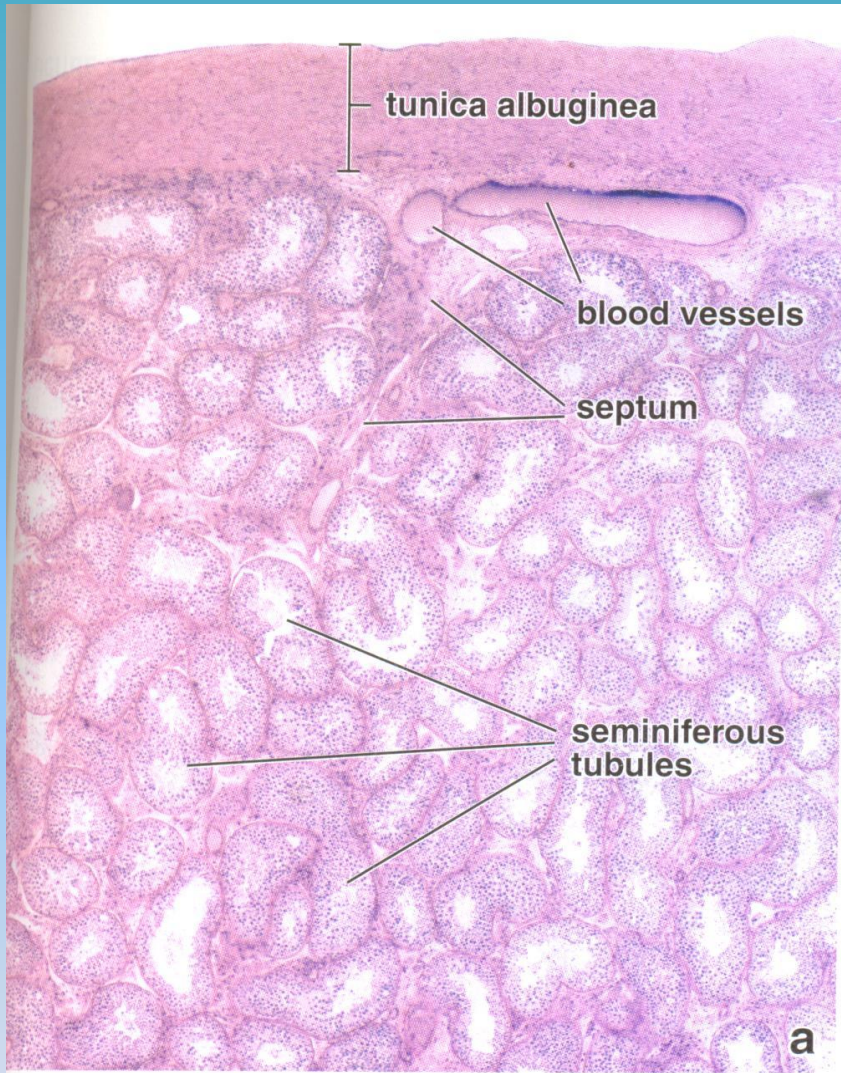


FIGURE 21.5
Photomicrographs of human testis. **a.** This low-magnification photomicrograph of a H&E-stained section of a human testis shows seminiferous tubules and the tunica albuginea. The larger blood vessels present in the inner aspect of the tunica albuginea. The seminiferous tubules are highly convoluted; thus the profiles that they

present in the section are variable in appearance. $\times 30$. **b.** A higher magnification of the previous specimen shows several seminiferous tubules. Note the population of Leydig (interstitial) cells that occur in small clusters in the space between adjoining tubules. $\times 250$.

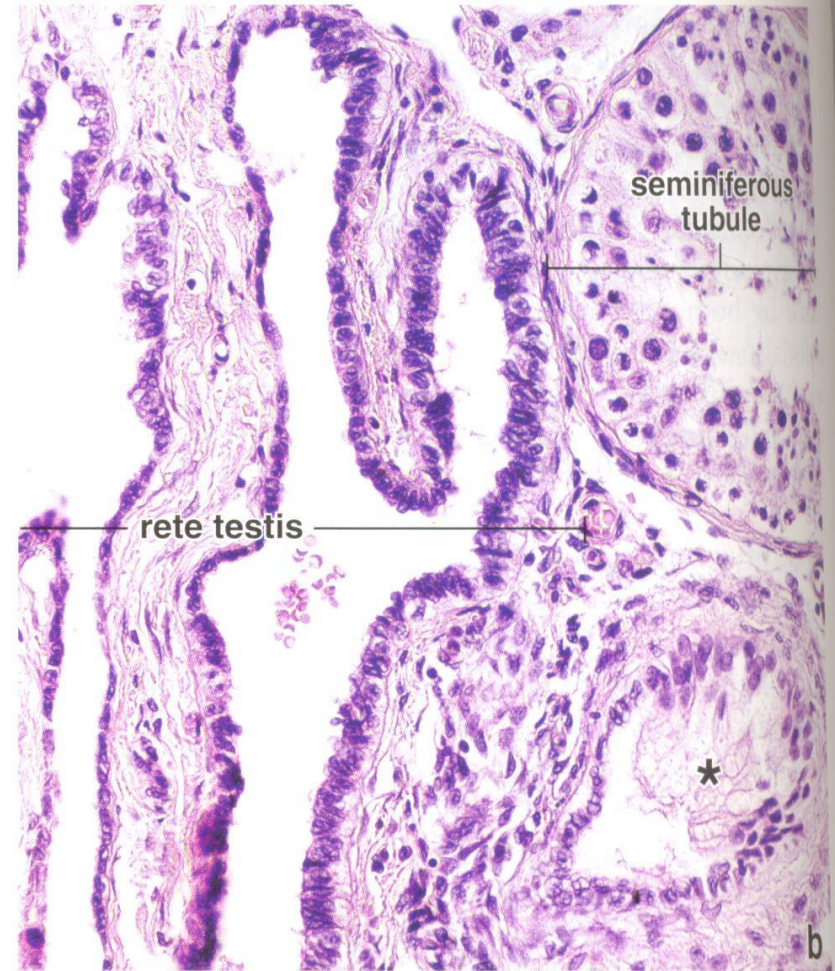
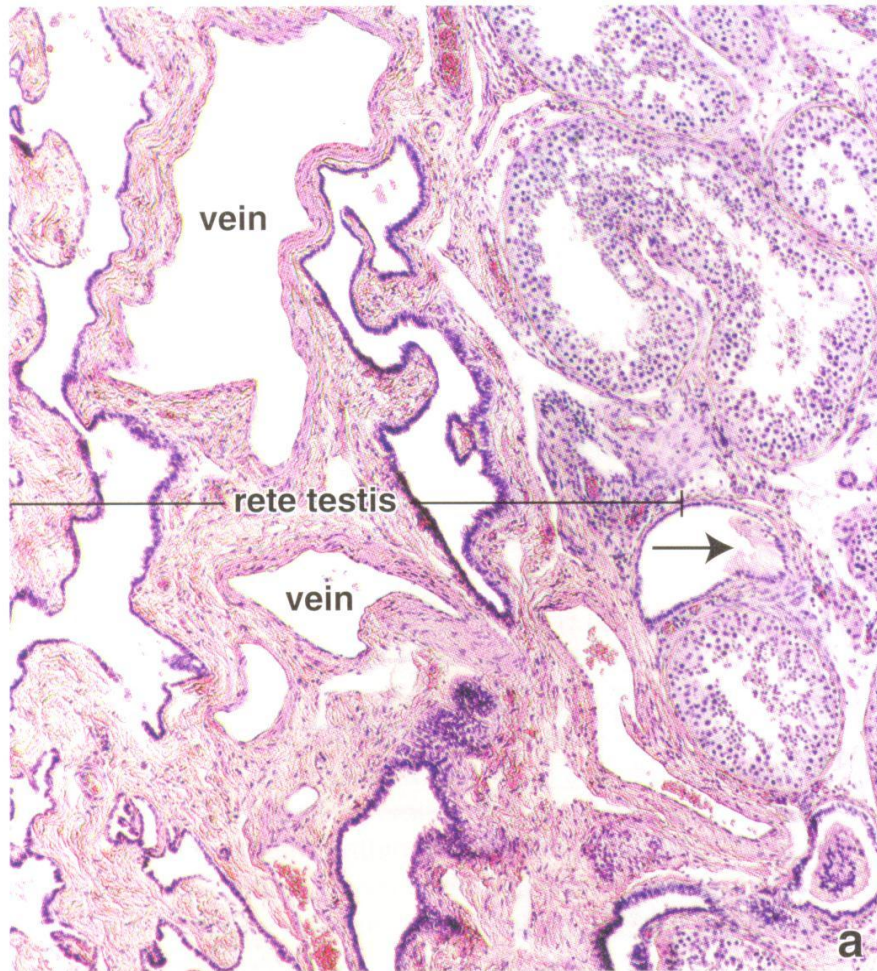


FIGURE 21.19

Photomicrograph of human testis. a. This H&E-stained specimen shows the site that includes the mediastinum of the testis. On the right are seminiferous tubules, and on the left are the anastomosing channels of the rete testis. The *arrow* indicates termination of a straight tubule that is lined only by Sertoli cells. It is at this site that the tubule content enters the rete testis and the channels are then

lined by a simple cuboidal epithelium. $\times 70$. **b.** This higher magnification from a slightly deeper section of the same specimen shows the rete testis (left), a cross section of a seminiferous tubule (upper right), and a terminating straight tubule (*asterisk*) where it is entering the rete testis. Note the abrupt change in the epithelial lining at this site. As noted, the lining epithelium of the rete testis is simple cuboidal. $\times 275$.

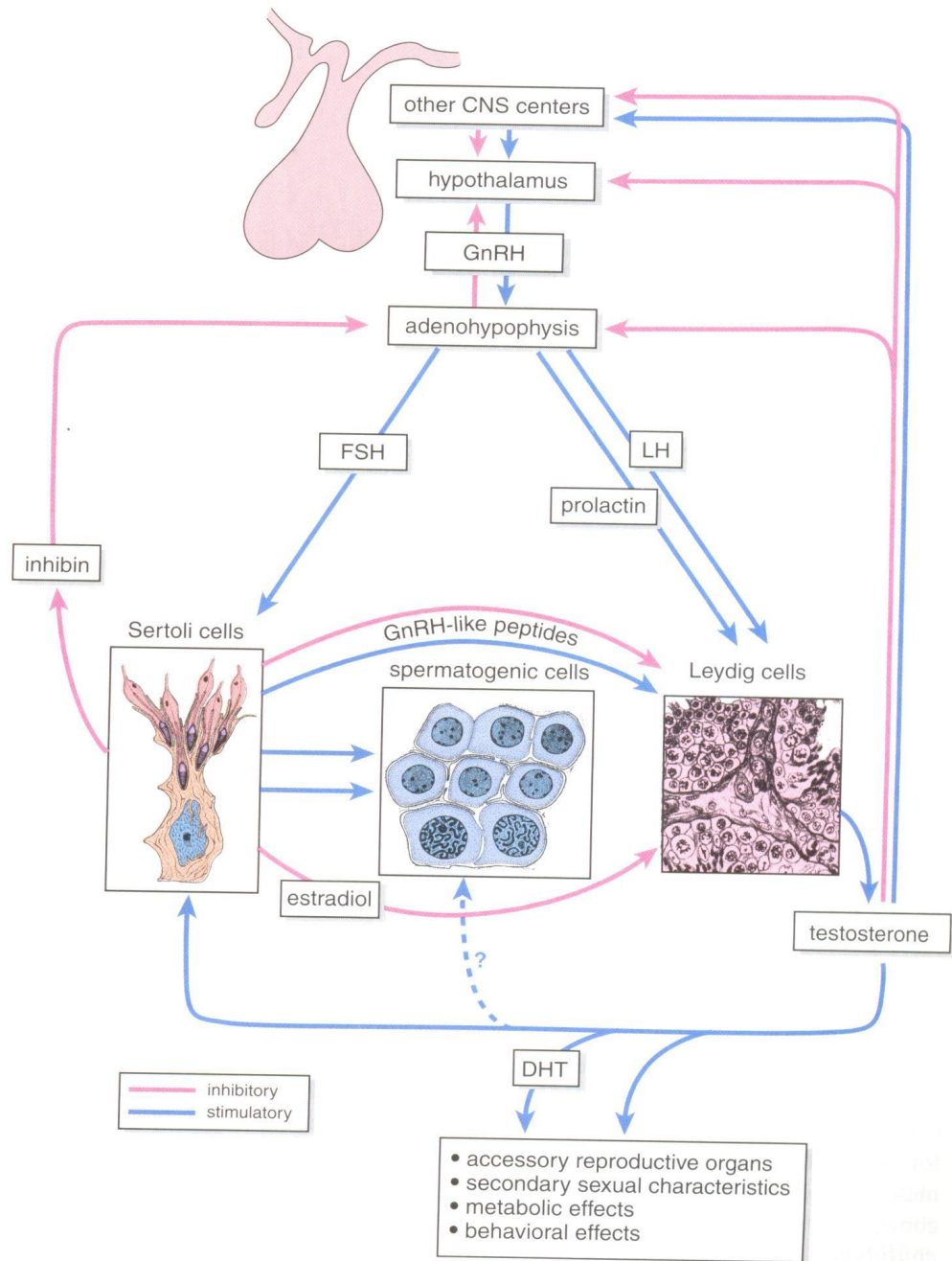


FIGURE 21.18

Diagram depicting the hormonal regulation of male reproductive function. Blue arrows indicate stimulatory action on the system; red arrows indicate inhibitory feedback. See text for explanation.

Оболочки яичка

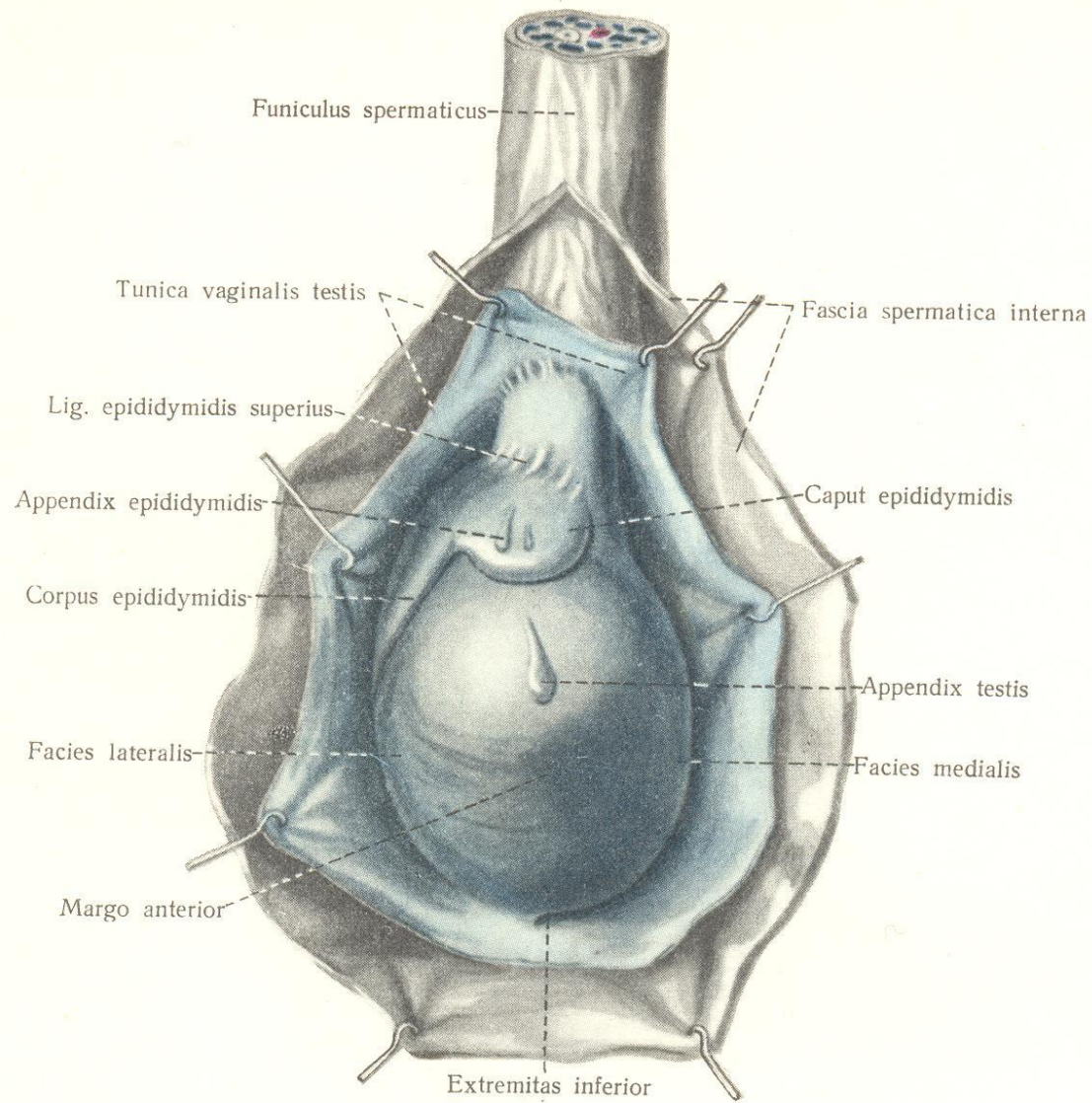
- Яичко опускается в мошонку с фасциями и мышцами передней брюшной стенки. Они формируют оболочки яичка и семенной канатик.
- Брюшная стенка – кожа, подкожная клетчатка, фасции, мышцы, 2 листка брюшины → белочная оболочка.

Оболочки яичка

- 1) *Cutis scroti* – кожа мошонки. Тонкая, пигментированная, содержит сальные железы.
- 2) *Tunica dartos* – мясистая оболочка.
СТ + гладкомышечные волокна.
- 3) *Fascia spermatica externa* – наружная семенная фасция. Из *fascia superficialis*.
- 4) *Fascia cremasterica* – фасция мышцы, поднимающей яичко.

Оболочки яичка

- 5) *Musculus cremaster* – мышца, поднимающая яичко. Пучки косой внутренней и поперечной мышц живота.
- 6) *Fascia spermatica interna* – внутренняя семенная фасция. Из *fascia transversalis*.
- 7) *Tunica vaginalis testis* – влагалищная оболочка (*lamina parietalis, lamina visceralis*).
- 8) *Tunica albuginea* – белочная оболочка.



551. Яичко, *testis*, и его придаток, *epididymis*
 правые: спереду ($\frac{1}{4}$).

Семенной канатик

- Комплекс образований: сосуды, нервы яичка, семявыносящий проток.
- Семенной канатик → верхний конец яичка → паховый канал.

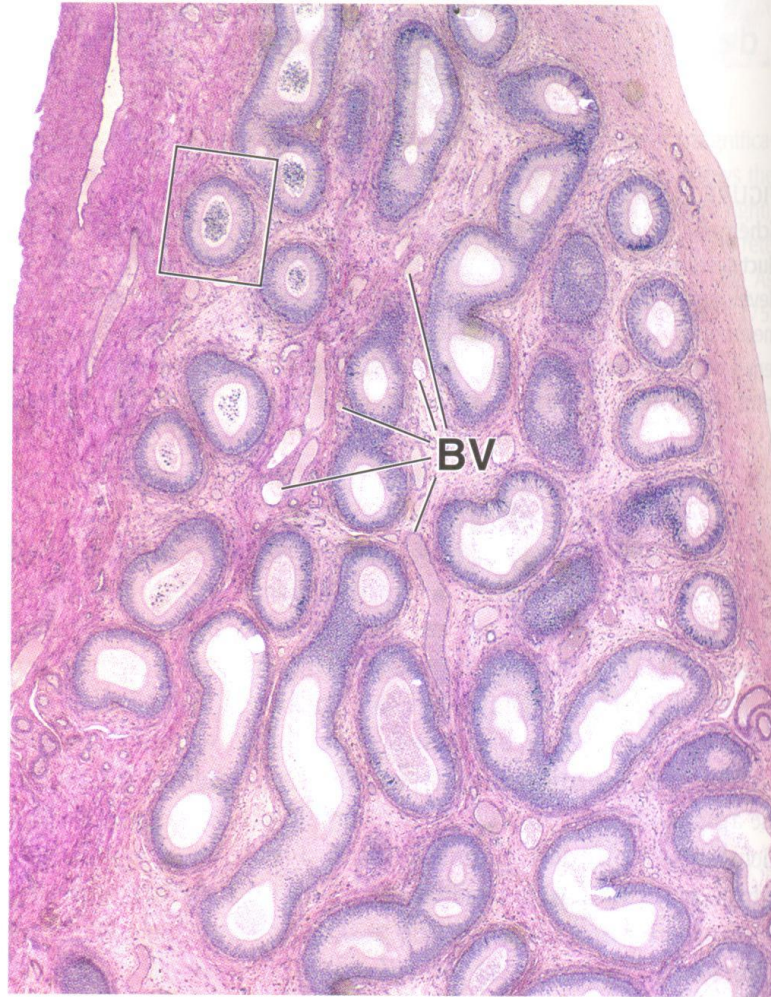


FIGURE 21.22

Photomicrograph of human epididymis. This photomicrograph of a H&E-stained section shows the highly coiled ductus epididymis. Its coiled nature is reflected in the variously shaped profiles of the duct. Within the connective tissue are numerous profiles of blood vessels (*BV*). The vessels tend to follow the duct; thus they, too, reflect multiple profiles of several vessels. The section of the duct within the *rectangle* is shown at higher magnification in Figure 21.23. $\times 30$.

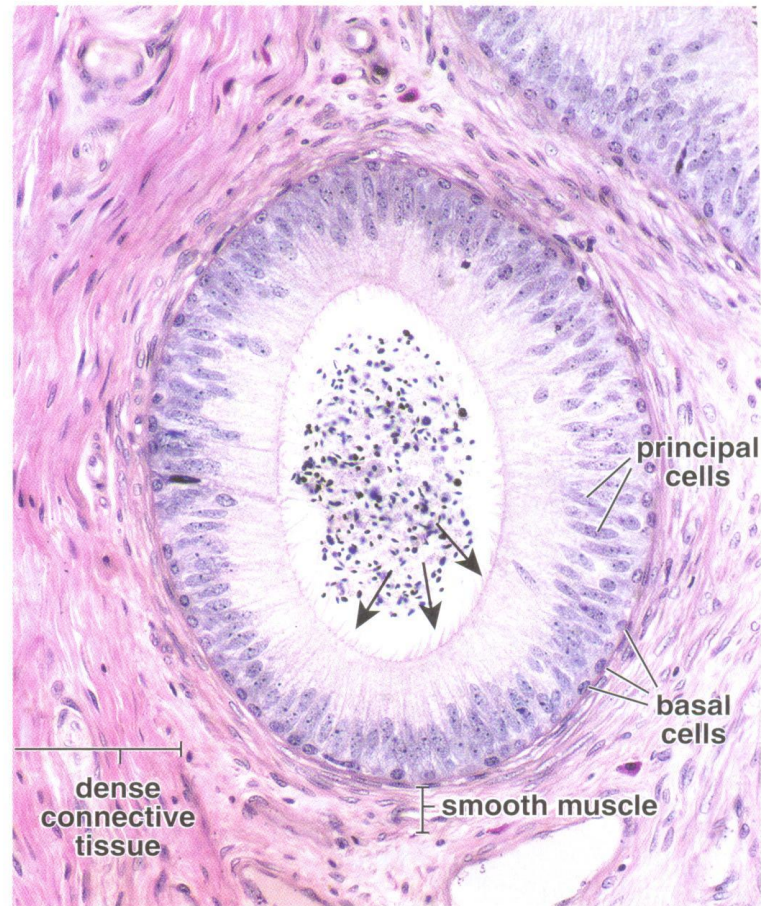


FIGURE 21.23

Photomicrograph of human ductus epididymis. This higher magnification of the *rectangular area* in Figure 21.22 reveals the two cell types of the epididymal epithelium, the principal cells and the basal cells. Stereocilia (*arrows*) extend from the apical surface of the principal cells. The nuclei of the basal cells are spherical and are located in close proximity to the basement membrane, whereas the nuclei of the principal cells are cylindrical and conform to the columnar shape of the cell. Surrounding the duct epithelium is a layer of circularly arranged smooth muscle cells. The duct lumen contains numerous sperm. $\times 250$.

Семявыносящий проток

- Продолжение ductus epididymidis.
- Начинается от хвоста придатка.
- Вместе с протоком семенного пузырька – в предстательную часть мочеиспускательного канала.
- Длина – 50 см; диаметр – 3 мм.
- Стенка: адвентициальная оболочка, мышечная оболочка (2 продольных слоя и 1 циркулярный), слизистая оболочка (продольные складки).

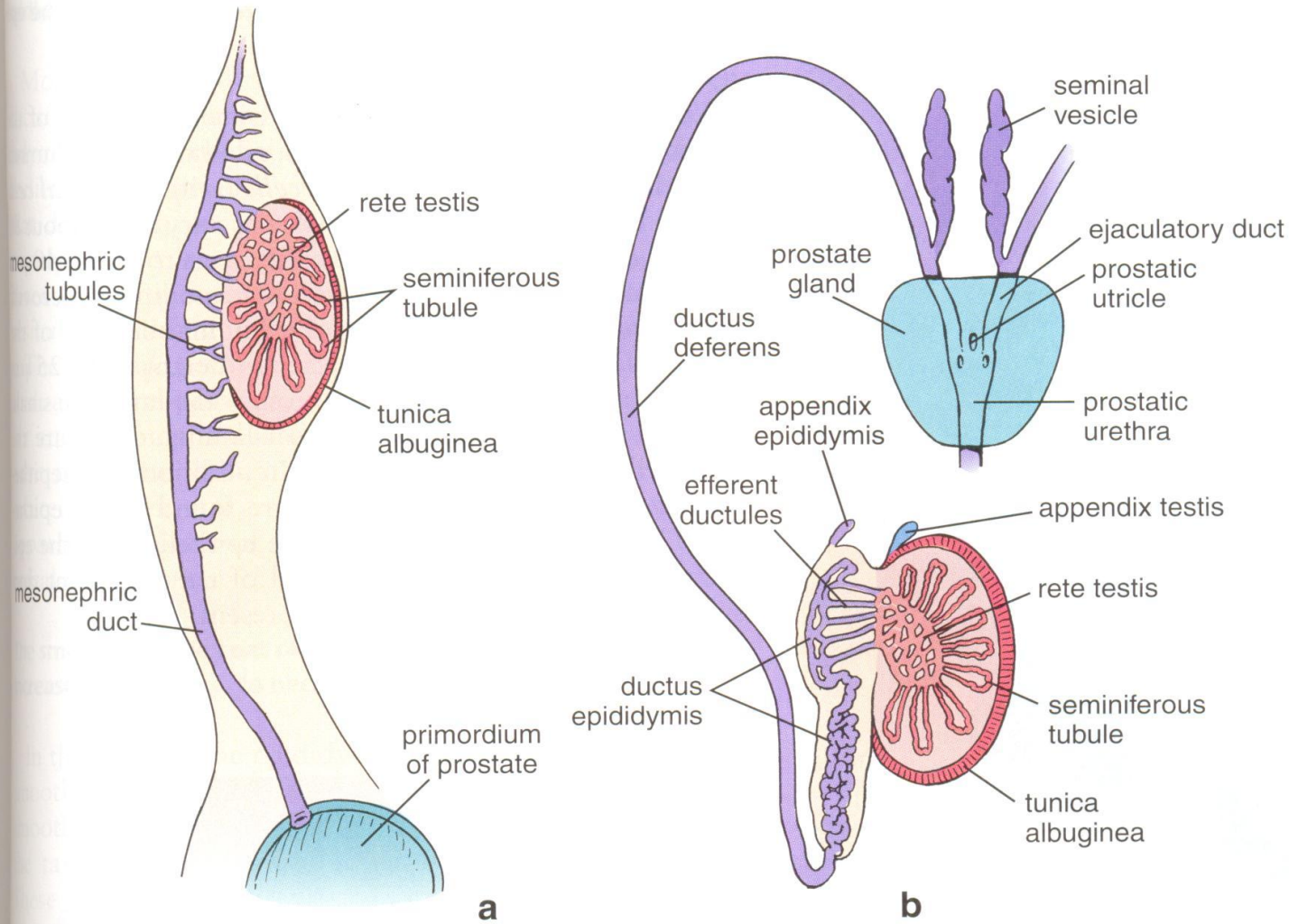


FIGURE 21.20

Schematic diagram of development of intratesticular and excurrent duct systems. **a.** This diagram shows the testis in the seventh week of development before it descends into the scrotal sac. Note that the mesonephric duct and its tubules give rise to the excurrent duct system for the developing testis. **b.** Sagittal section of a fully developed testis positioned within the scrotum. Note that the seminal vesicles,

ejaculatory ducts, ductus deferens, epididymis, and efferent ductules are all developed from the mesonephric duct and tubules. The seminiferous tubules, straight tubules, and rete testis develop from the indifferent gonads. The prostate gland develops from the prostatic primordium that originates from the pelvic urethra.

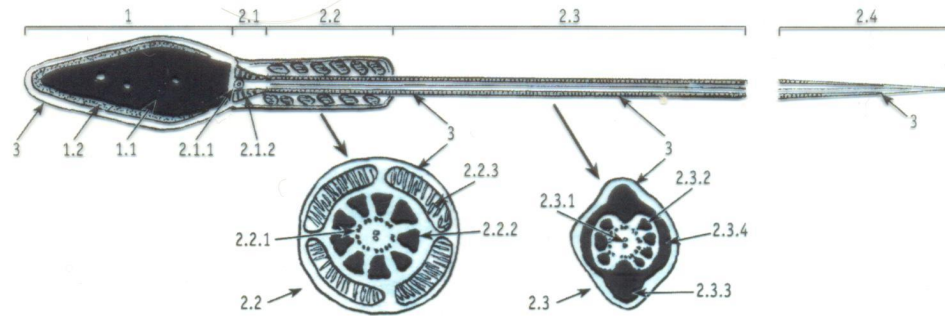


Рис. 231. Мужская половая клетка – спермий (сперматозоид)

Схема ультраструктуры

1 – головка: 1.1 – ядро, 1.2 – акросома; 2 – хвостик: 2.1 – связующий отдел, 2.1.1 – проксимальная центриоль, 2.1.2 – сегментированные колонны, 2.2 – промежуточный отдел, 2.2.1 – аксома (9 пар периферических и 1 центральная пара микротрубочек), 2.2.2 – наружные плотные волокна, 2.2.3 – митохондрии, 2.3 – главный отдел, 2.3.1 – аксома, 2.3.2 – плотные волокна, 2.3.3 – продольные столбы, 2.3.4 – ребра, 2.4 – терминальный отдел; 3 – плазмолемма

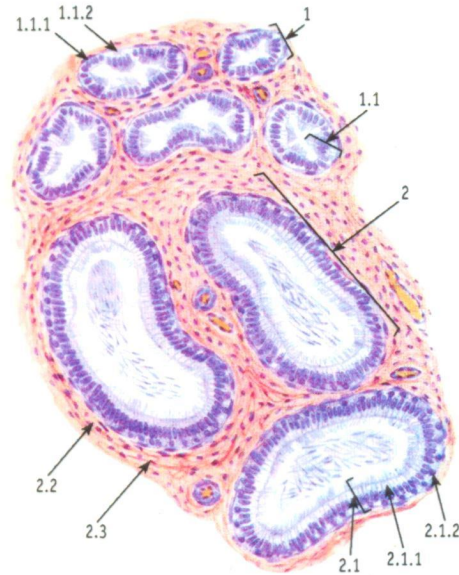


Рис. 232. Придаток яичка

Окраска: гематоксилин – эозин

1 – выносящий каналец яичка: 1.1 – многоядный призматический эпителий, 1.1.1 – кубические эпителиоциты с микроворсинками, 1.1.2 – призматические эпителиоциты с ресничками; 2 – проток придатка: 2.1 – многоядный призматический эпителий, 2.1.1 – эпителиоциты со стереоцилиями, 2.1.2 – базальные эпителиоциты, 2.2 – мышечная оболочка, 2.3 – адвентия

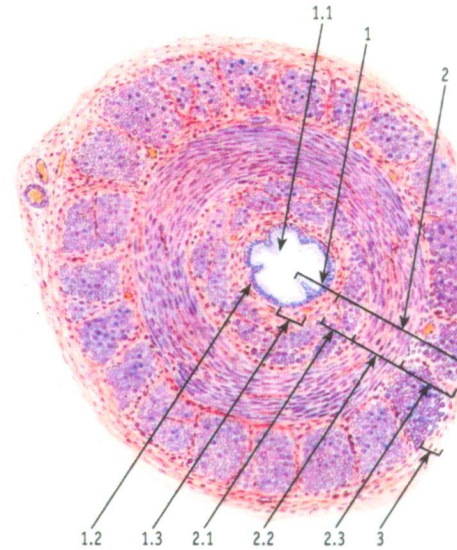


Рис. 233. Семявыносящий проток

Окраска: гематоксилин – эозин

1 – слизистая оболочка: 1.1 – продольные складки, 1.2 – многоядный призматический эпителий, 1.3 – собственная пластинка; 2 – мышечная оболочка: 2.1 – внутренний продольный слой, 2.2 – средний циркулярный слой, 2.3 – наружный продольный слой; 3 – адвентициальная оболочка

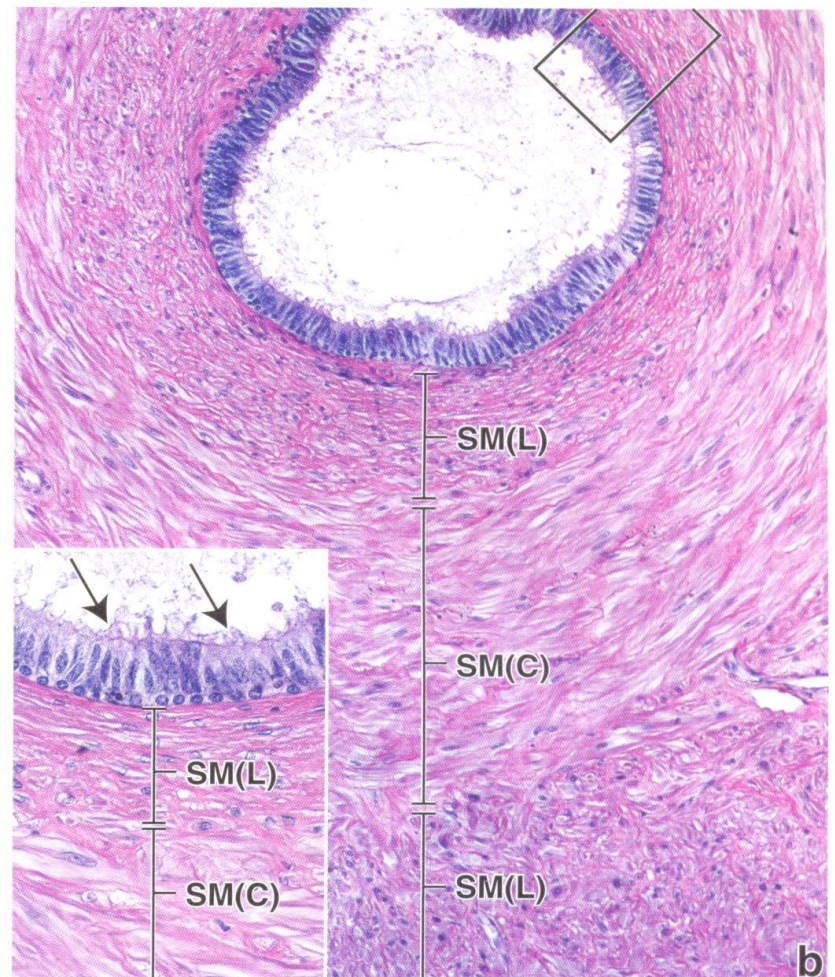
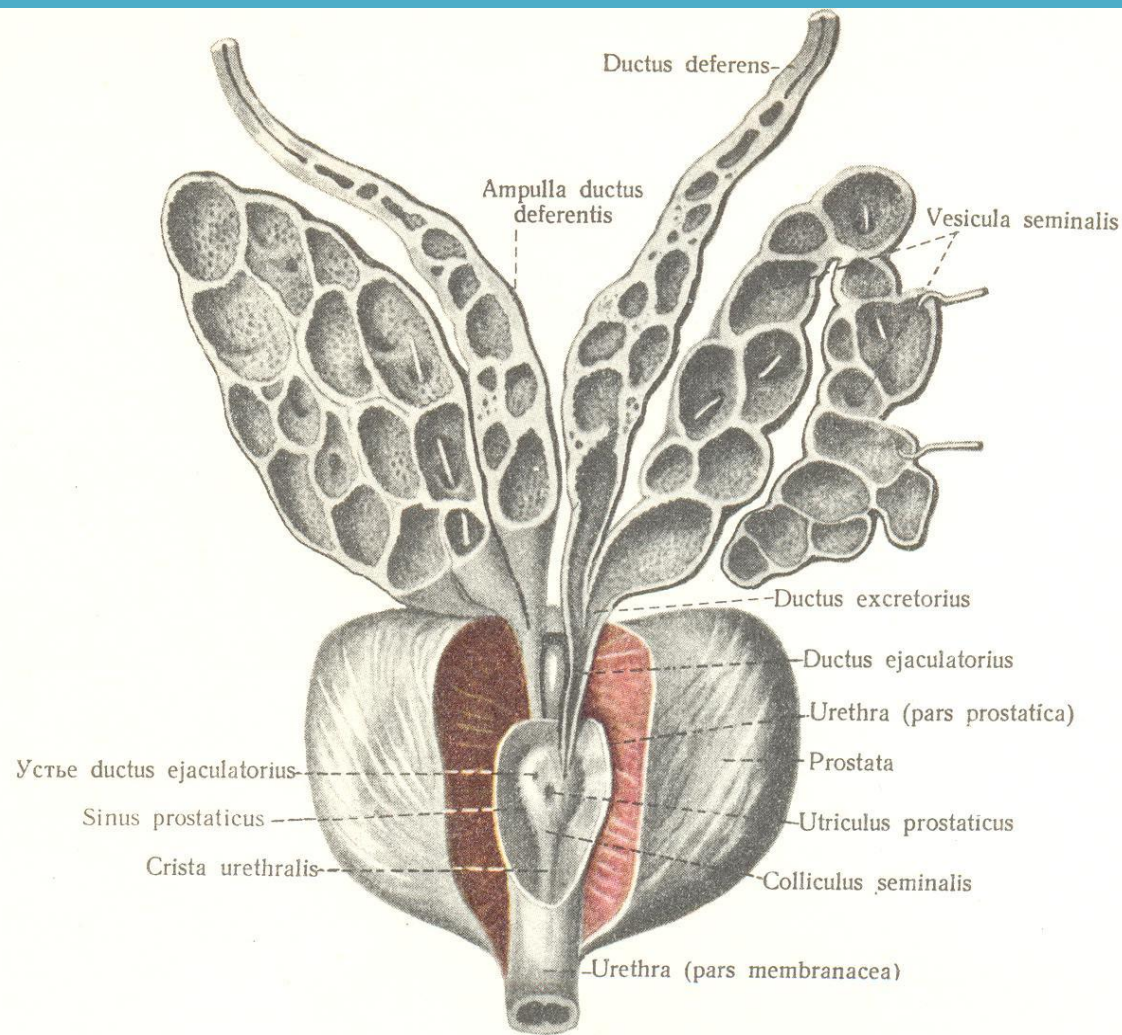


FIGURE 21.25

Photomicrograph of human spermatic cord. a. This low-magnification photomicrograph shows a cross section of the spermatic cord containing several structures. These include the ductus deferens, the accompanying testicular artery and vein, and veins of the pampiniform plexus. $\times 15$. **Inset.** A higher magnification of a pampiniform vein. Note the bundles of longitudinal smooth muscles (cut in cross section) in the tunica adventitia and tunica intima. $\times 55$. **b.** This cross

section of the ductus deferens shows the thick muscular wall organized in three distinct smooth muscle layers: an inner longitudinal (*SM(L)*), middle circular (*SM(C)*), and outer longitudinal (*SM(L)*). $\times 100$. **Inset.** A higher magnification shows the pseudostratified epithelium lining the ductus deferens. The tall principal cells possess long microvilli (stereocilia) (*arrows*). The basal cells are in close proximity to the basement membrane and possess spherical nuclei. $\times 215$.



556. Предстательная железа, *prostata*, и семенные пузырьки, *vesiculae seminales*; спереди ($\frac{1}{1}$).

Семенные пузырьки и расширение семявыносящего протока, *ampulla ductus deferentis*, вскрыты; передние отделы предстательной железы частично удалены; предстательная часть мочеиспускательного канала вскрыта.)

Семенной пузырьек

- Позади мочевого пузыря, латерально от семявыносящего протока.
- Вырабатывает жидкую часть эякулята.
- Длина – 5 см, ширина – 2 см, толщина – 1 см.
- Стенка похожа на стенку семявыносящего протока.
- Ductus deferens + проток семенного пузырька (ductus excretorius) = семявыбрасывающий проток (ductus ejaculatorius). Открывается в предстательную часть мочеиспускательного канала.

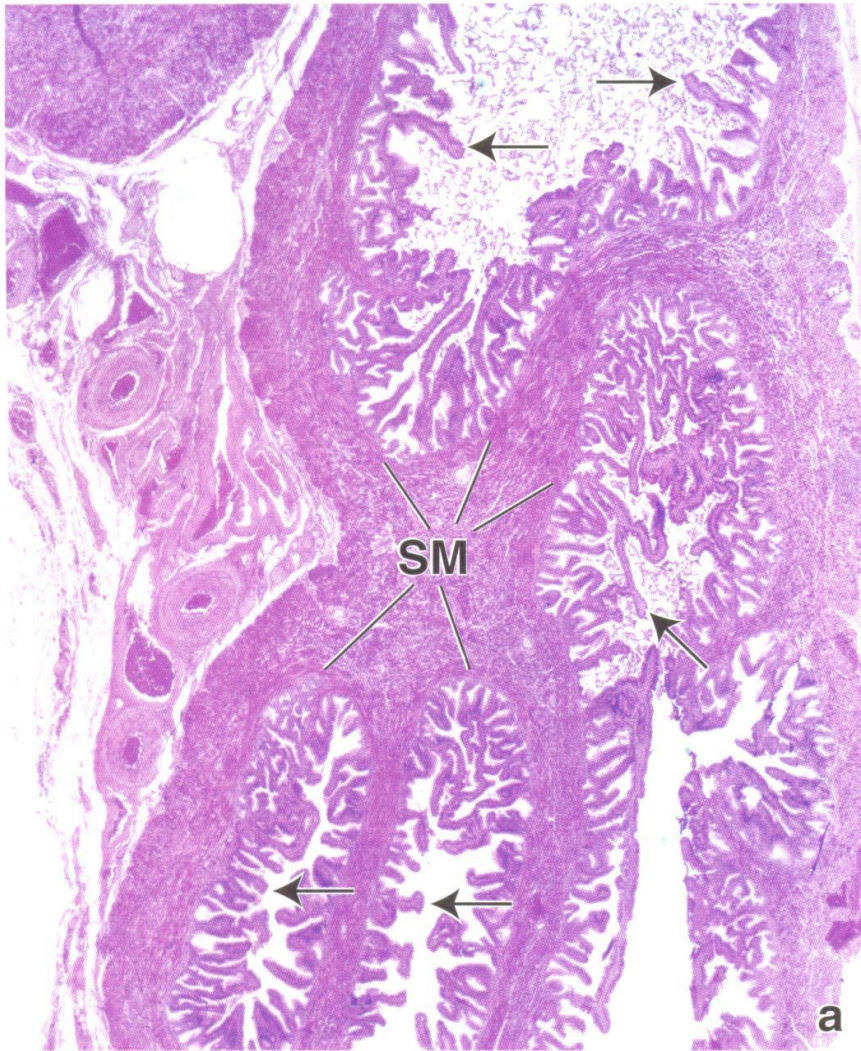
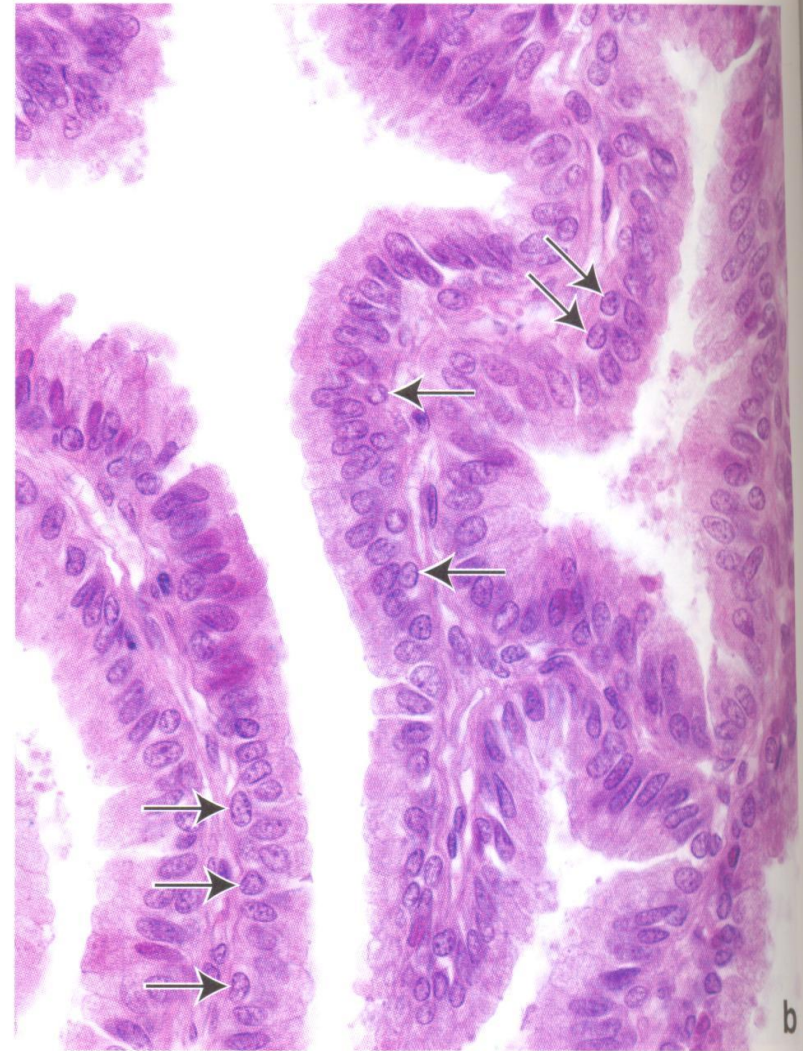


FIGURE 21.26

Photomicrograph of human seminal vesicle. a. This low-magnification photomicrograph shows part of a H&E–stained section of a human seminal vesicle. This gland is a tortuous tubular structure and in a section exhibits what appear to be a number of isolated lumina. In actuality, there is only one lumen. The mucosa is characterized by



extensive folding. It rests on a thick smooth muscle (*SM*) investment that is organized in two layers: an inner circular layer and an outer longitudinal layer. $\times 20$. **b.** This higher magnification shows the mucosal folds surfaced by a pseudostratified epithelium. *Arrows* indicate the basal cells. $\times 500$.

Физиология

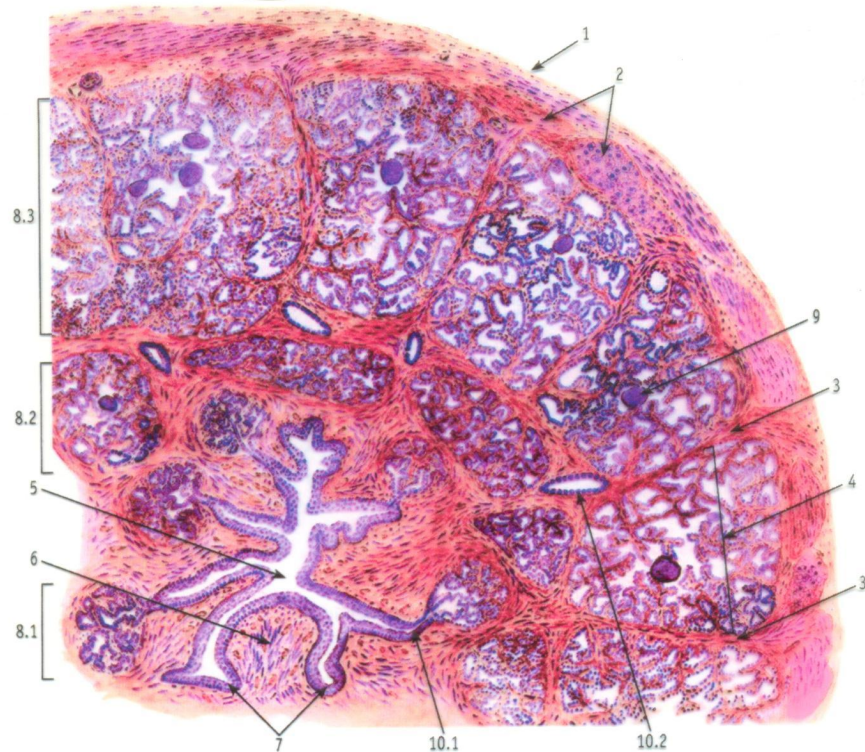
- Семенные пузырьки – секрет вязкий, беловато-серый, желатиноподобный. 50% объема семенной жидкости.
- После эякуляции разжижается в течение нескольких минут.
- Содержит фруктозу (андрогензависима), азотистые соединения, витамин С, простагландины; рН = 7,3.
- При нереализованном половом возбуждении спермии попадают в семенные пузырьки.

Простата

- Каштан, 3x4x25 см.
- Масса – 25 гр.
- Вокруг pars prostatica urethrae.
- Доли: 2 боковые, 1 средняя (перешеек) – между задней поверхностью мочеиспускательного канала и дном мочевого пузыря.
- 30-50 трубчато-альвеолярных желез, СТ, миоциты, 20-30 выводных протоков.

Физиология

- Простата – секрет беловатый, слабощелочной. 25-50% объема семенной жидкости.
- Содержит липоидные тельца, спермин, лимонную кислоту (андрогензависима), кислую и щелочную фосфатазы.



↑ Рис. 234. Предстательная железа
(поперечный срез)

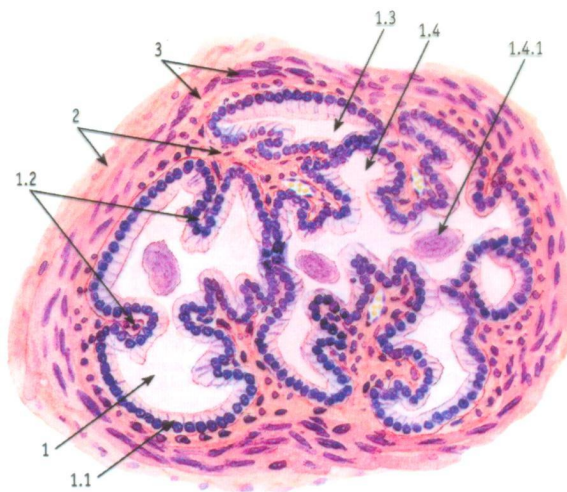
Окраска: гематоксилин – эозин

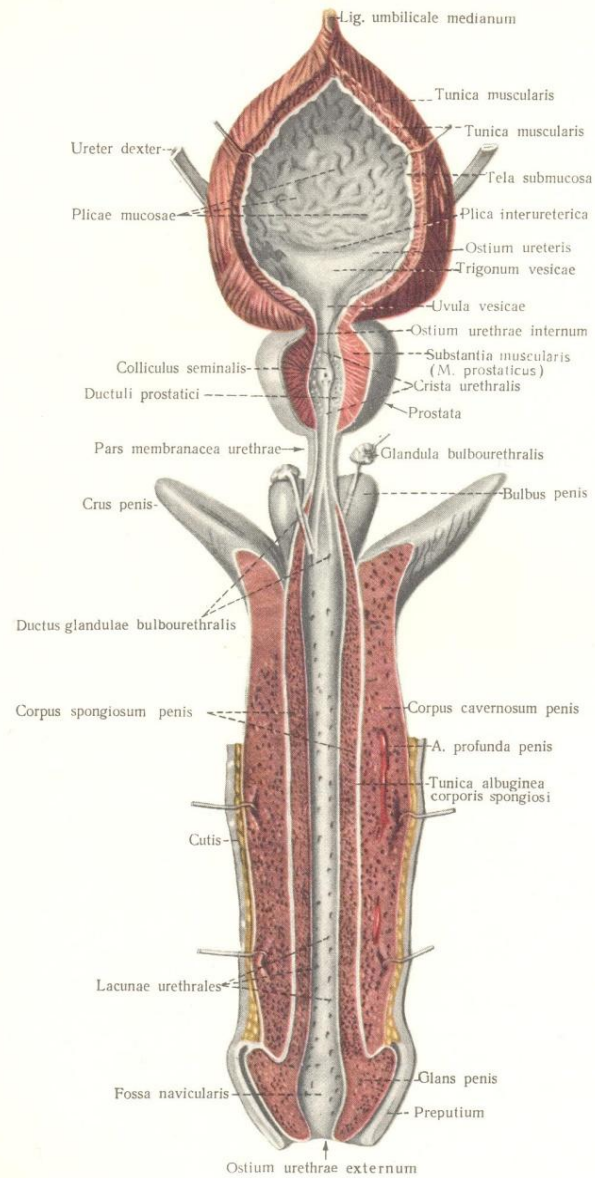
1 – капсула; 2 – слой гладкой мышечной ткани;
3 – соединительнотканые септы; 4 – долячка;
5 – простатическая часть уретры; 6 – семенной
бугорок; 7 – простатические синусы; 8 – проста-
тические железы: 8.1 – слизистые (внутренние),
8.2 – подслизистые (промежуточные), 8.3 –
главные (наружные); 9 – конкреции; 10 – вы-
водные протоки: 10.1 – слизистых желёз,
10.2 – промежуточных и главных желёз

→ Рис. 235. Предстательная железа.
Концевой отдел главной простатической
железы

Окраска: гематоксилин – эозин

1 – концевой отдел: 1.1 – однослойный призматический эпителий, 1.2 – складки, 1.3 – дивертикул (инвагинация), 1.4 – секрет в просвете, 1.4.1 – конкреция; 2 – соединительная ткань стромы; 3 – пучки гладких миоцитов





**549. Мужские половые органы;
мочевой пузырь, предстательная железа
и пещеристые тела ($1/2$).
(Мочевой пузырь и мочеиспускательный канал вскрыты.)**

- Добавочные половые железы гормонально-зависимы.
- Возрастная атрофия.
- Андрогенные стероиды вырабатываются:
1) яичками; 2) надпочечниками.

Уретра

- Ширина – 5-7 мм.
- Отделы: внутрипузырный, предстательный, перепончатый, губчатый.
- Выстлана многослойным плоским эпителием.

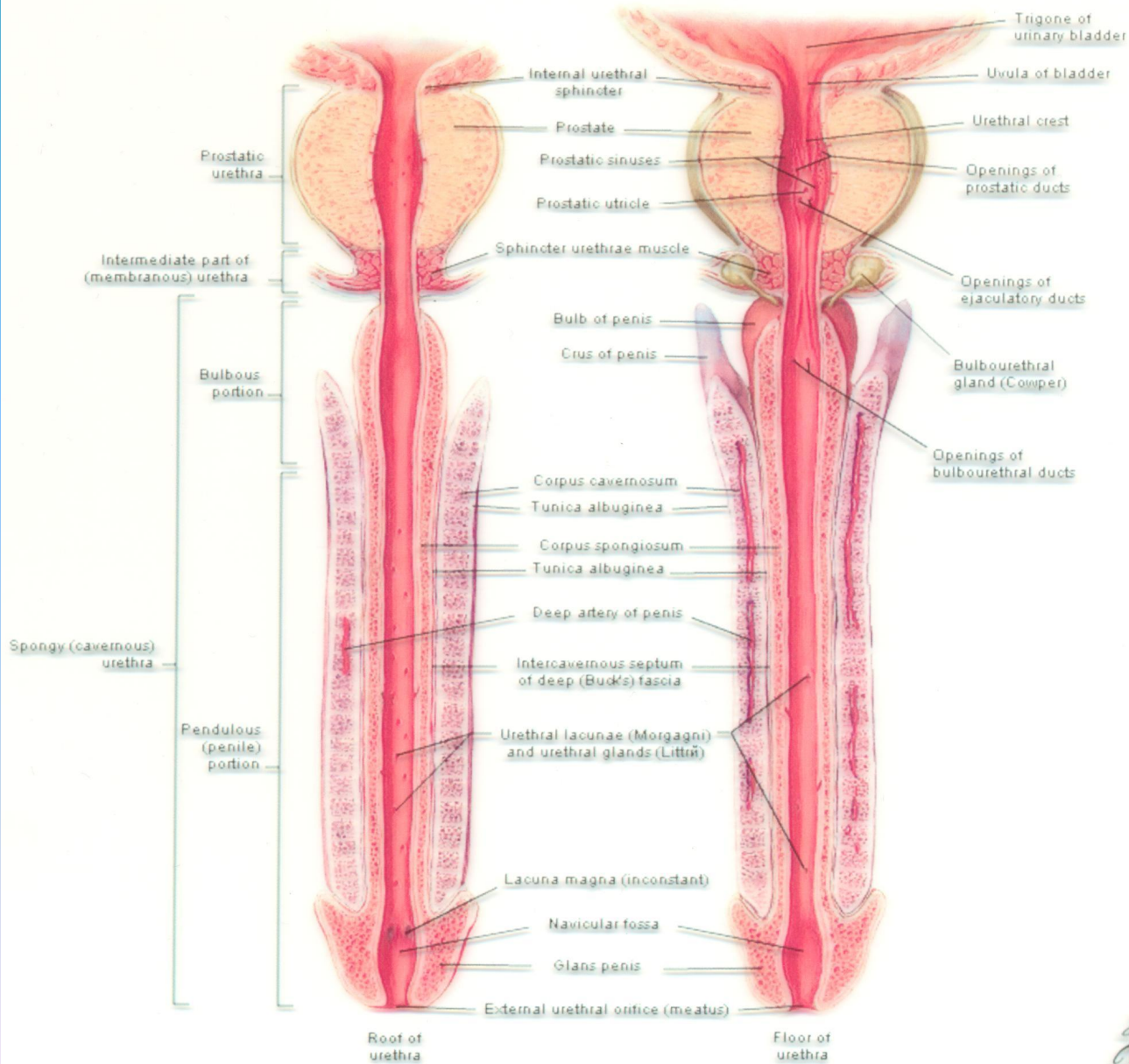
Предстательная часть уретры

- Pars prostatica.
- Длина – 3-3,5 см; самый широкий отдел.
- На задней стенке – возвышение (семенной холмик, *calliculus seminalis*). Сюда открывается *ductus ejaculatorius*.
- *Utriculus masculinus* – углубление в центре семенного холмика.
- По бокам семенного холмика – множественные отверстия выводных протоков простаты.

Перепончатая и губчатая части уретры

- Перепончатая часть (1,5-2 см) – через диафрагму таза, сфинктер.
- Губчатая часть (17-20 см) – луковичный и передний подвижный отделы.
- В луковичном отделе – много желез (железы Литтре), протоки луковично-уретральных Куперовых желез.
- В конечном отделе – ладьевидная ямка (прототип преддверия влагалища, многосл. плоск. эпит-й).

Urethra: Male



F. S. Netter M.D.
H&N

Железы Купера

- В толще мочеполовой диафрагмы, над луковицей полового члена.
- Трубчато-альвеолярные.
- Диаметр – 1 см.
- Открываются в луковичный отдел уретры.

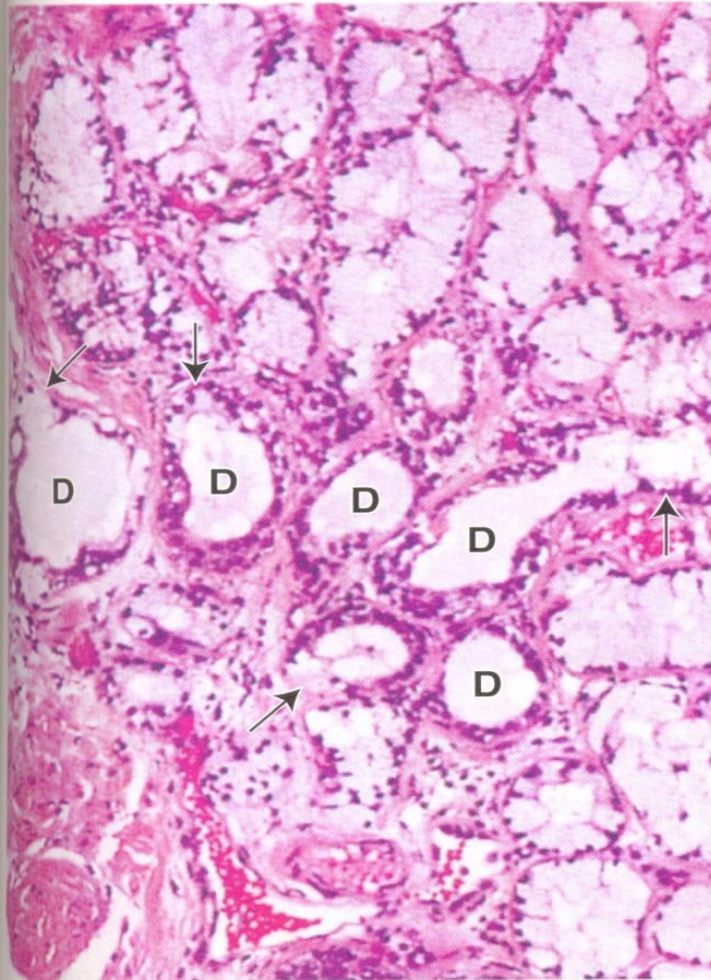


FIGURE 21.29

Photomicrograph of human bulbourethral gland. This photomicrograph shows a H&E–stained section of the compound tubuloalveolar bulbourethral gland. The epithelium consists of columnar mucus-secreting cells. The nuclei are displaced to the base of the cells by the accumulated secretory material that they contain. The cytoplasm has an appearance similar to typical mucus-secreting cells. Note several ducts (*D*) lined by a simple columnar epithelium. The ducts will merge to form a single excretory duct. In some sites the ducts contain mucus-secreting cells (*arrows*). $\times 40$.

ur
w
gl
to
it
ne
m
tu
fo
br
pr

pa
di
th
th
gi
to
sp

d
v

c
c

Половой член

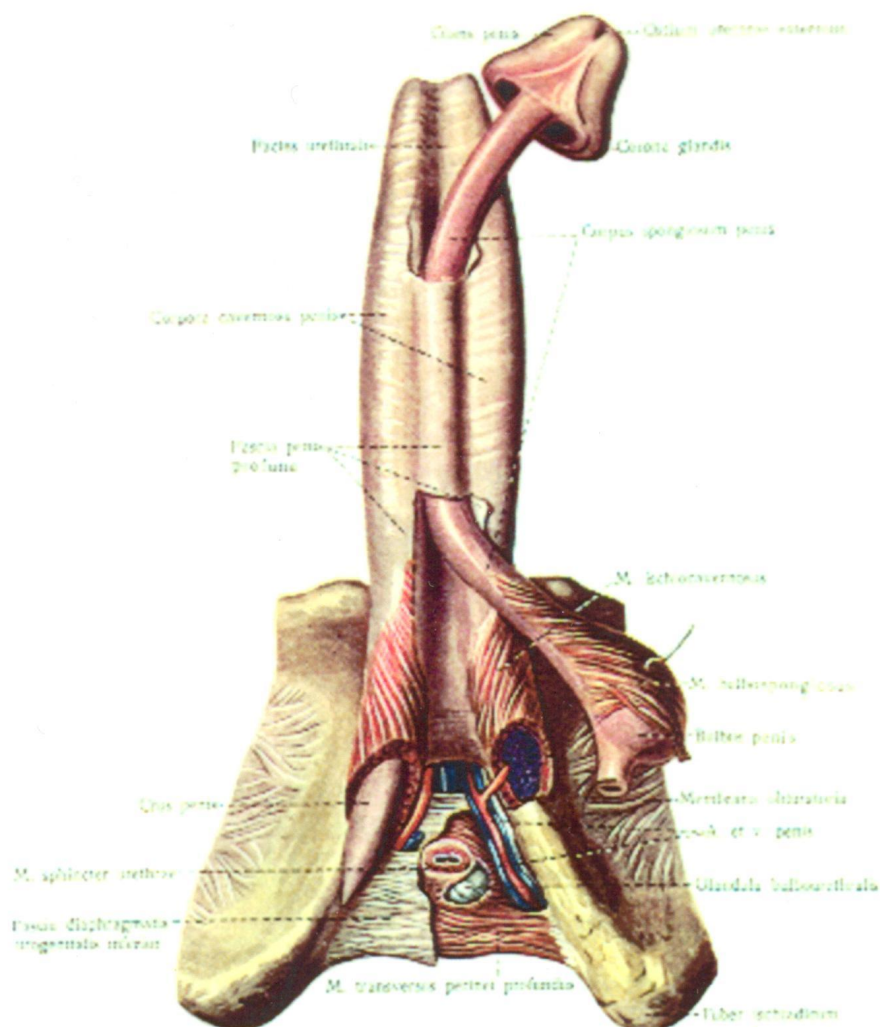
- Функции:

- 1) орган совокупления (coitus) – проведение спермы во влагалище;

- 2) выведение мочи (urethra masculina).

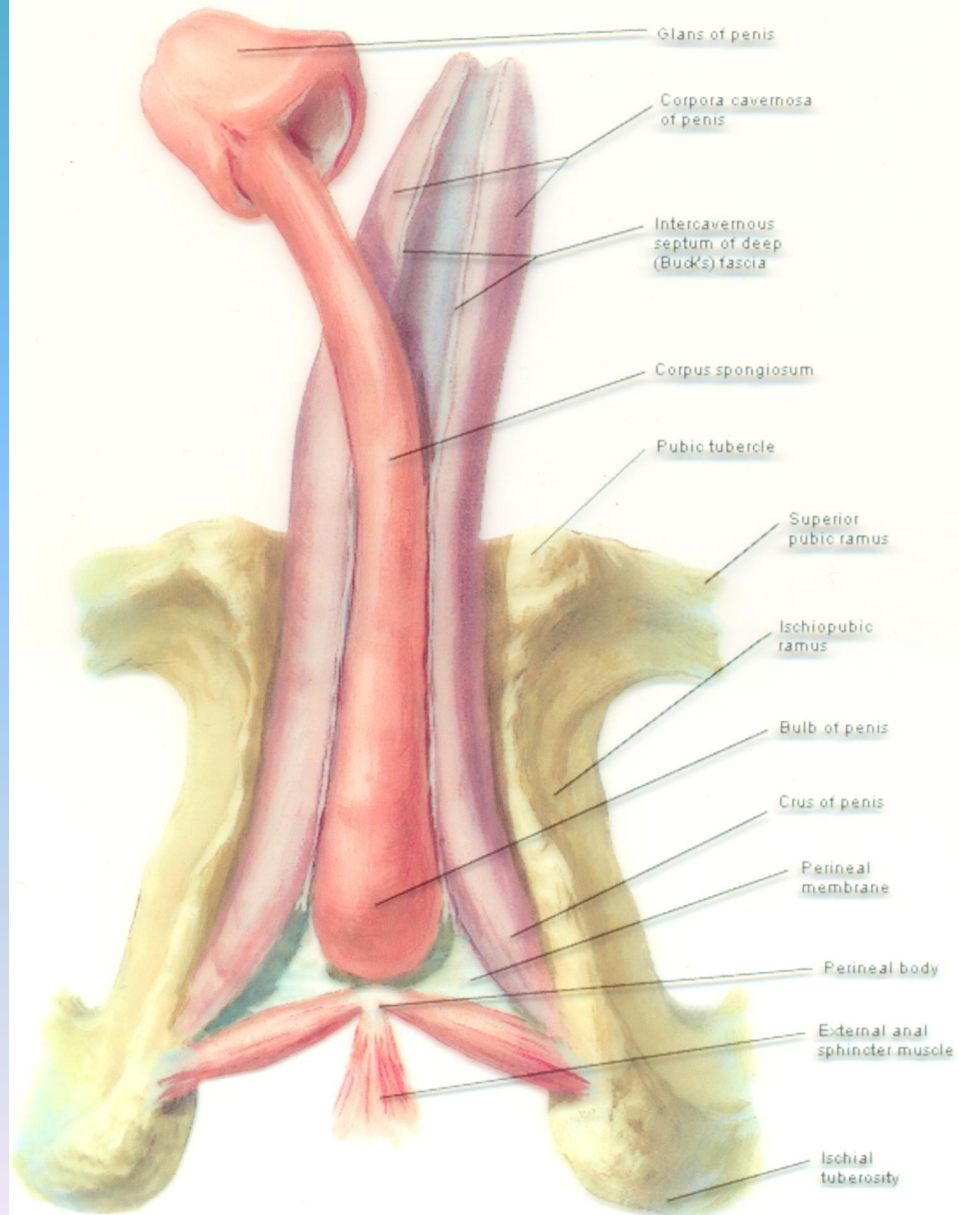
Строение полового члена

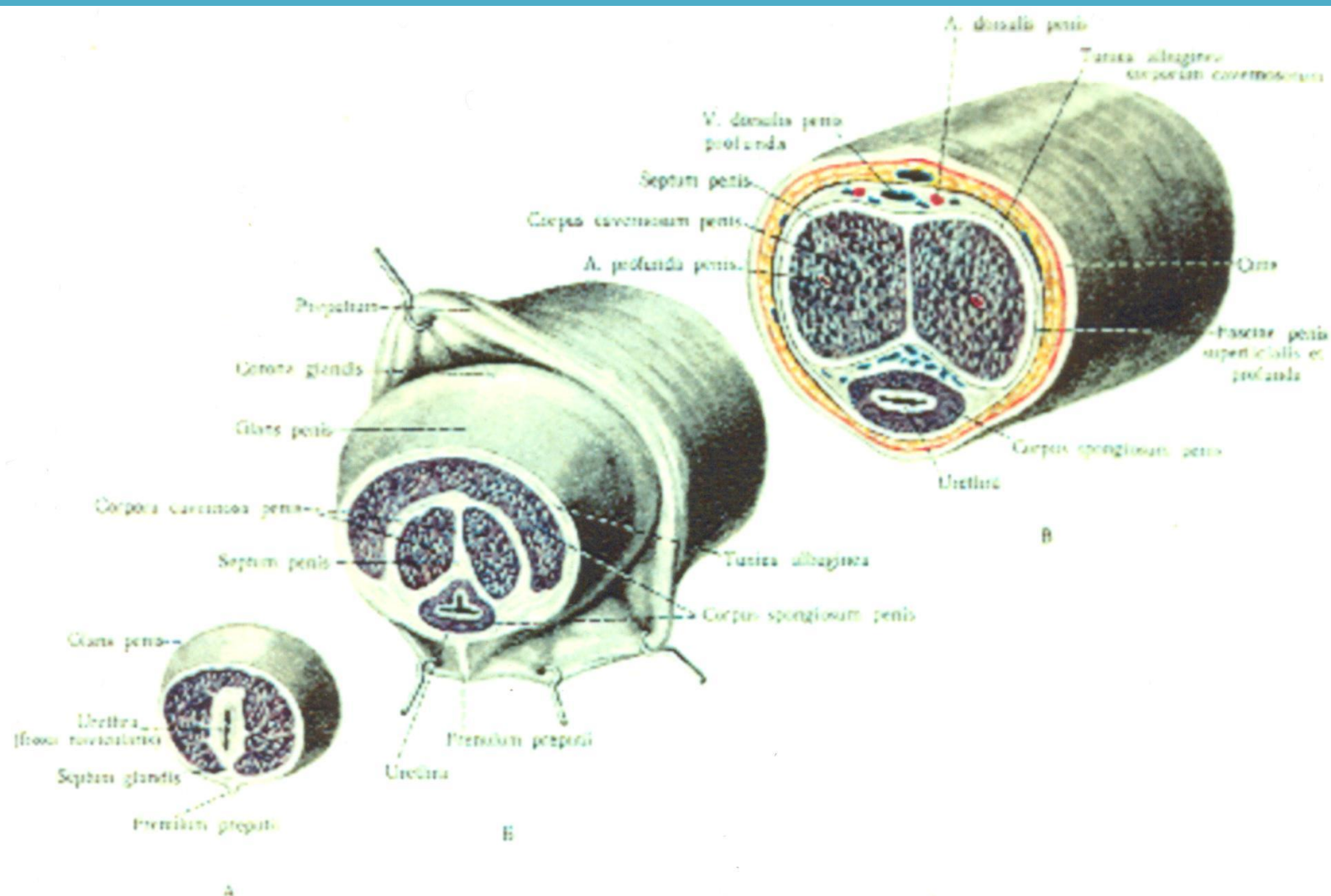
- Два пещеристых тела (corpus cavernosus).
Прикрепляются к ветвям лобных костей.
- Одно губчатое тело (corpus spongiosus). В нем проходит уретра. Много эластических волокон.
- Пещеристые и губчатое тела сращены между собой и покрыты плотной фиброзной капсулой (белочная оболочка).



557. Пещеристые и губчатое тела мужского полового члена и мочеиспускательного канала, *corpora cavernosa et spongiosum penis*; спереди и снизу (3/4).
 (Губчатое тело мочеиспускательного канала частично отделено от пещеристых тел мужского полового члена.)

Penis





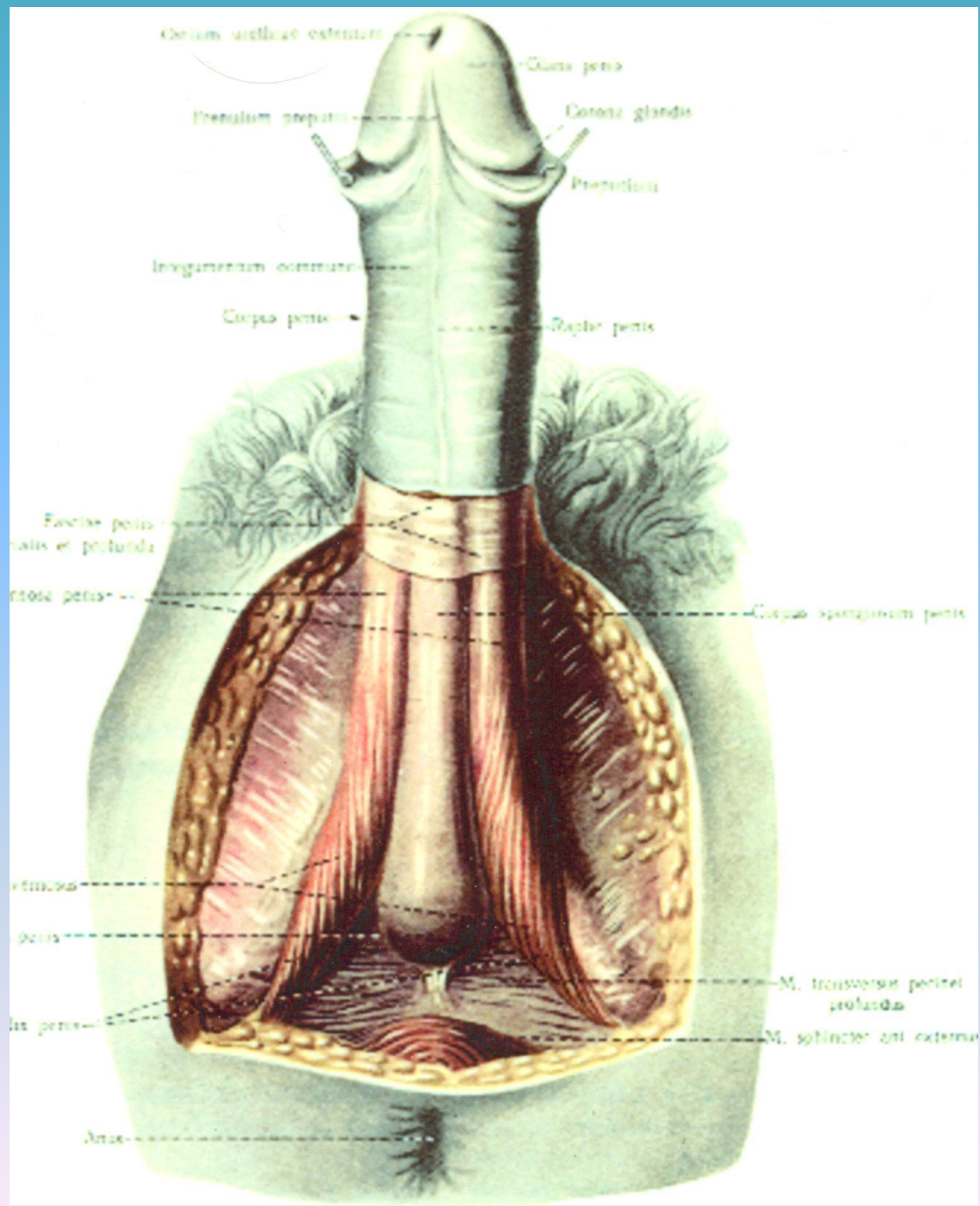
559. Поперечные разрезы мужского полового члена ($3/2$).
 А – разрез головки вблизи наружного отверстия мочеиспускательного канала; Б – разрез головки на середине ладьевидной ямки;
 В – разрез средних отделов тела.

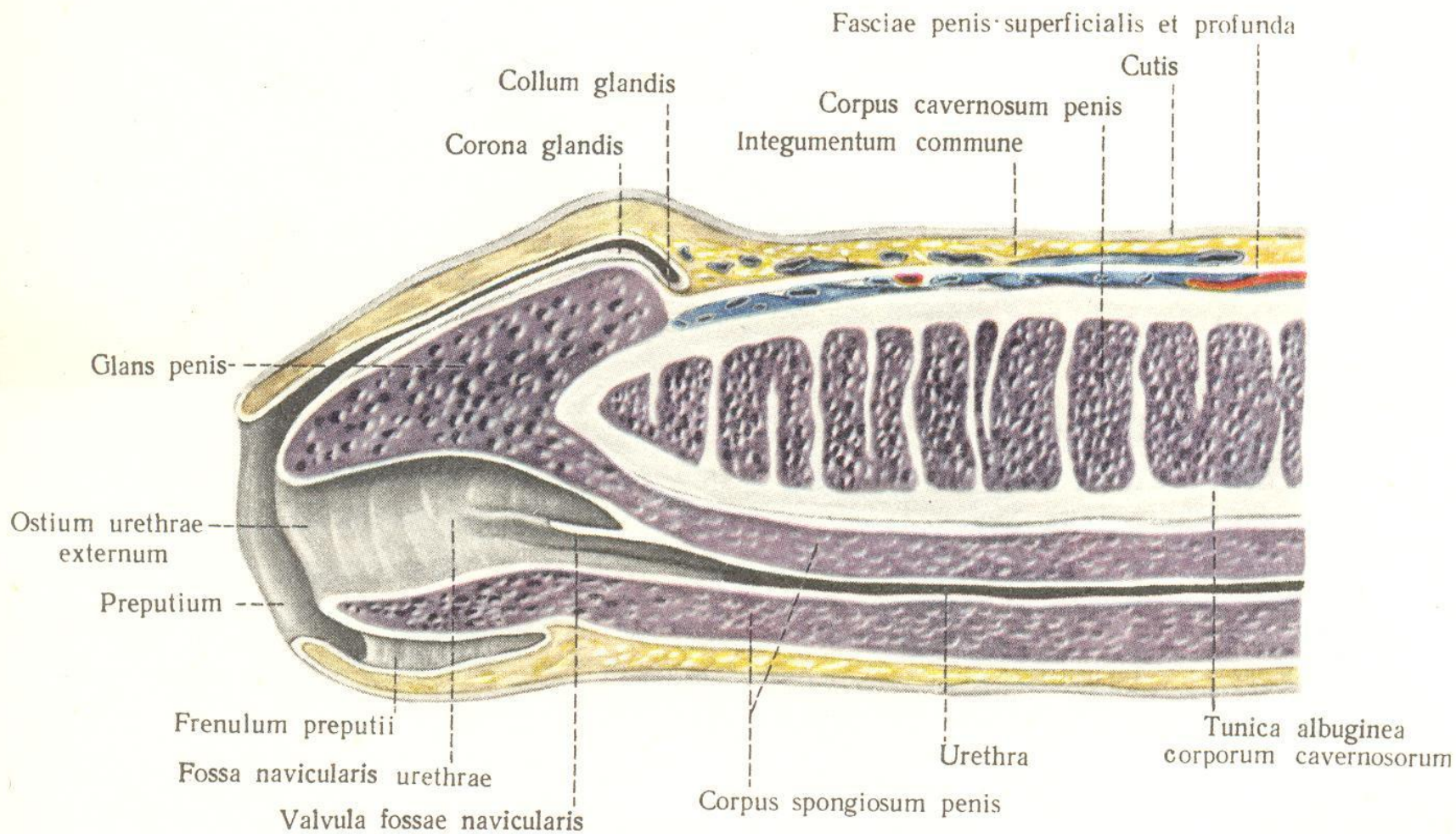
Половой член

- Части:
 - 1) головка (glans penis)
 - 2) ствол (corpus)
 - 3) корень (radix), основание
- Поверхности: передняя (тыльная), задняя (нижняя).

Строение полового члена

- Кожа полового члена тонкая, легко смещается. Верхушка подворачивается, образуя свободную складку – препуциальный мешок (крайняя плоть, preputium).
- На нижней поверхности есть шов, который сзади переходит на мошонку, а спереди образует уздечку (frenulum).





560. Продольный разрез передних отделов мужского полового члена, правая сторона; слева ($3/2$).

Строение полового члена

- Кровеносные сосуды (капилляры), СТ, много миоцитов.
- Губчатое тело в дистальном отделе имеет конусообразное утолщение → головка (*glans penis*).
- На головке – вертикальная щель (*ostium urethrae*).
- Край головки имеет утолщение – венчик (венечная борозда).

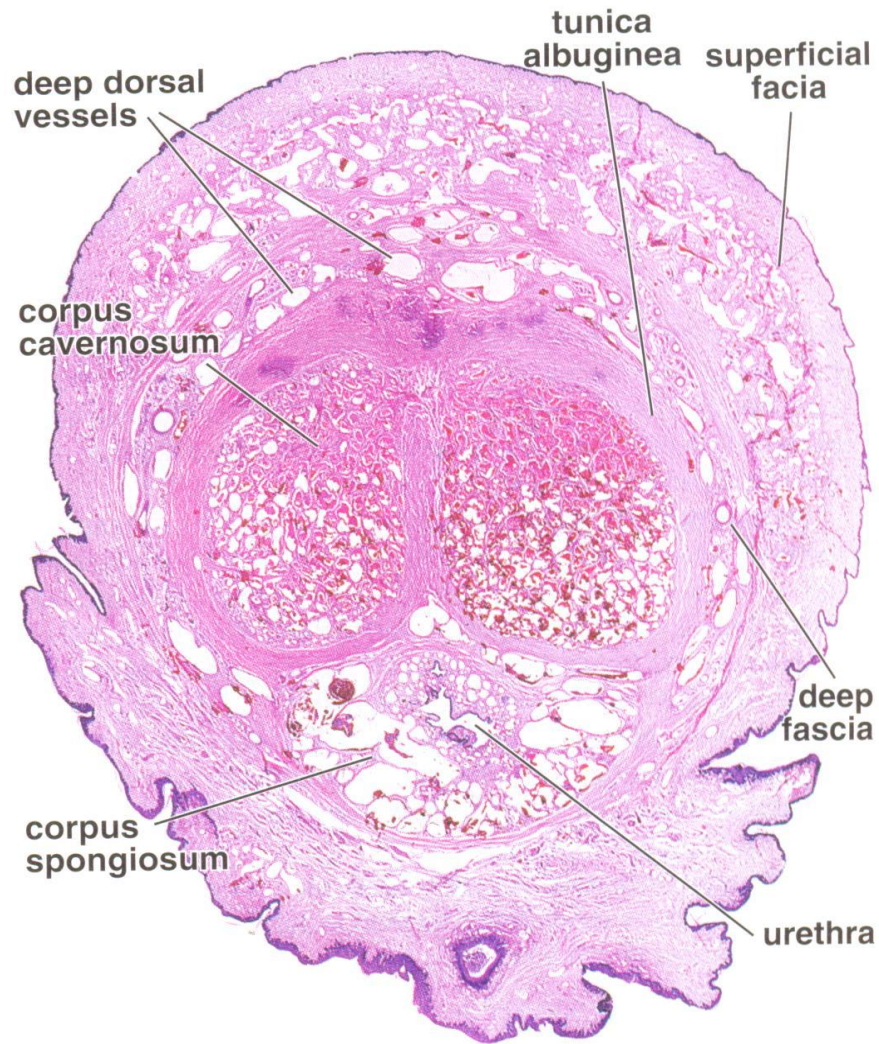


FIGURE 21.30

Photomicrograph of a histologic section of the penis. This photomicrograph shows a H&E-stained specimen of a cross section of the penis near the base of the organ. Note the arrangement of the corpora cavernosa and corpus spongiosum; the latter contains the urethra. $\times 3$.

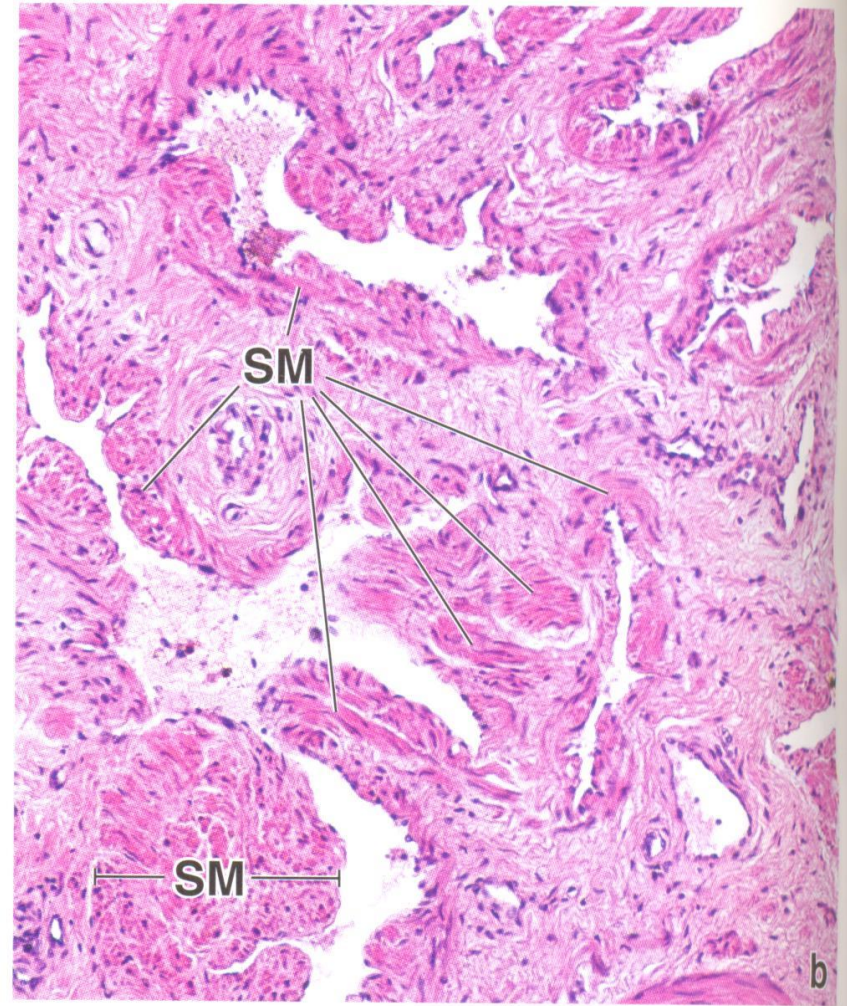
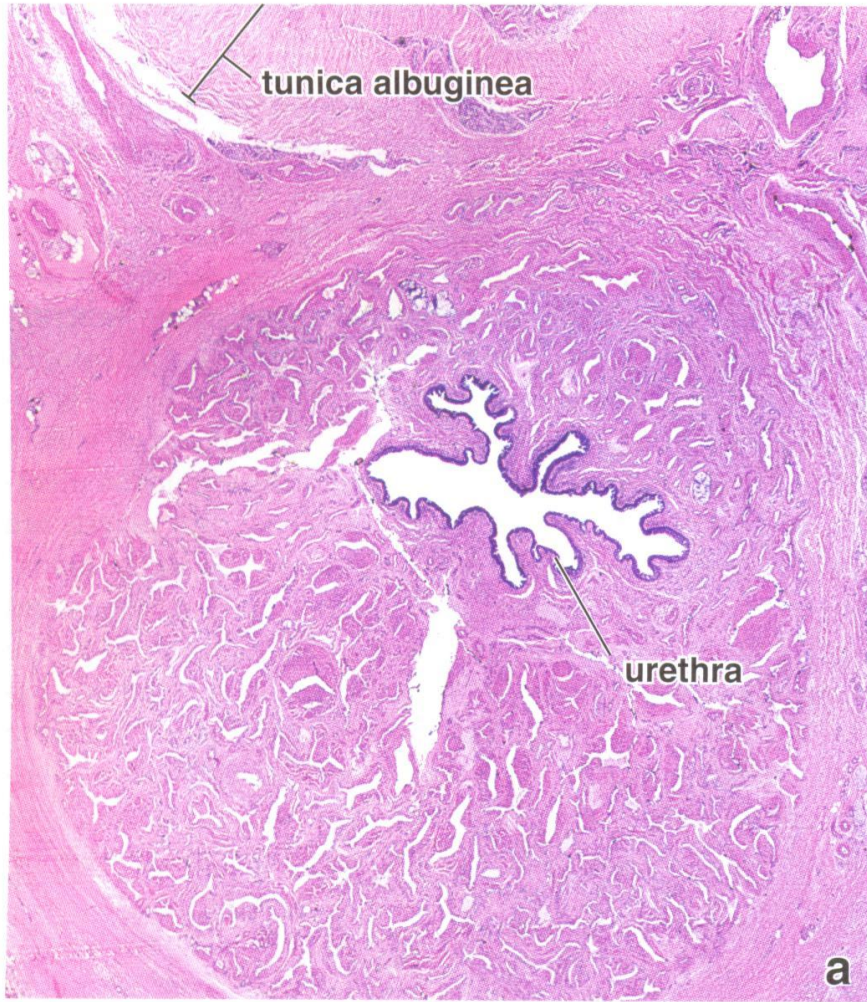


FIGURE 21.31

Photomicrograph of corpus spongiosum. **a.** This photomicrograph of a H&E-stained section shows the corpus spongiosum and urethra. $\times 20$. **b.** This higher magnification of the corpus spongiosum shows

the numerous irregularly shaped vascular spaces. Note the surrounding layer of smooth muscle (SM) forming the “subendothelial cushions.” $\times 135$.

Половой член

- Лимфатические сосуды – паховые лимфатические узлы.
- Иннервация – n. pudendus (SII-SIII), n. dorsalis penis.
- Эрекция – стимуляция парасимпатической системы, эякуляция – стимуляция симпатической системы.

Кровоснабжение полового члена

- Внутренняя подвздошная артерия → внутренняя половая артерия → a. penis:

парные,
анастомозы

- 1) a. bulbi penis
- 2) a. urethralis
- 3) a. profunda penis
- 4) a. dorsalis penis

Кровоснабжение полового члена

- Отток:
 - v. dorsalis penis superficialis
 - v. profunda penis
 - v. dorsalis penis profunda



мочеполовое венозное
сплетение

Физиология

- Эрекция – рефлекторный акт, в основе которого лежит наполнение кровью кавернозных тел.
- Фазы:
 - 1) покоя – давление крови 5 мм рт. ст., объем притекающей крови 2,5-8 мл/мин
 - 2) набухания – увеличение объема, давление крови 80-90 мм рт. ст., объем притекающей крови до 90 мл/мин

Физиология

- Фазы:

3) эрекции – давление крови 80-90 мм рт. ст.,
объем притекающей крови 120-270 мл/мин

4) детумесценции – снижение притока,
увеличение оттока.

Семенная жидкость (эякулят)

- Объем – 3-4 мл.
- Семенная жидкость (эякулят) = секрет придатка яичка + секрет семенных пузырьков + секрет простаты + **сперма** (всего 1%).

Таблица 2.

Конституциональная характеристика половой
функции мужчин (n=130)

Исследуемые показатели	Средние данные	Соматотипы			
		Грудной	Брюшной	Мускульный	Неопределенный
1. Возраст появления платонического	9,45±0,38	9,25±0,63	9,5±0,86	10,2±1,10	9,69±0,95
2. Возраст появления сексуального влечения	13,18±0,25	13,1±0,37	13,25±0,64	13,72±0,33	13,84±0,50
3. Возраст первой эякуляции	13,81±0,20	13,64±0,32	5 13,12±0,4	4 14,54±0,4	13,84±0,54
4. Возраст начала мастурбации	13,65±0,46	13,42±0,55	13,5±0,84	15±0,40	12,75±1,91
5. Возраст начала половой жизни	6 16,36±0,2	16,48±0,36	6 15,85±0,7	6 15,27±0,4	2,4,5 17,53±0,3
6. Количество половых партнеров в течение года	3,95±0,48	3,36±0,48	4,75±1,09	6,66±2,56	2,61±0,70
7. Возраст первого оргазма	6 15,24±0,3	6 14,87±0,6	6 14,25±0,8	6 15,36±0,4	2,3,4,5 17,0±0,59
8. Максимальное количество оргазмов во время половой близости	6 4,09±0,26	4,41±0,6	6 4,37±0,62	6 4,45±0,38	2,4,5 2,83±0,20
9. Регулярность половой жизни: 1-1 раз в неделю 2-2-3 раза в неделю 3-3 раза в неделю и более 4-ежедневно	42,6% 29,4% 22% 6%	56% 28% 16% 0	25% 50% 12,5% 12,5%	18,2% 9,1% 27,2% 45,5%	42,8% 35,8% 21,4% 0
Примечание: М±m 2,3,4,5,6 —показатели достоверно (при P<0,05; 0,01; 0,001) отличаются в зависимости от соматотипа					

Таблица 3

Характеристика размеров мужского
полового члена (n=254)

Исследуемые размеры полового члена	У трупов	У живых	
		В покое	При эрекции
Длина общая	86,33±1,39	86,82±1,99	155,35±2,17
Длина тела	55,37±1,28	54,54±1,83	113,82±2,2
Длина головки	30,94±0,34	32,32±0,77	41,61±1,09
Ширина корня	29,88±0,28	33,5±0,71	42,52±0,91
Ширина тела	28,74±0,35	31,93±0,64	41,85±0,95
Ширина головки	28,92±0,28	32,48±0,69	41,86±0,92
Толщина корня	27,83±0,34	29,45±0,81	38,61±0,94
Толщина тела	24,92±0,28	28,39±0,57	37,77±1,11 :
Толщина головки	25,12±0,35	28,69±0,64	36,37±1,05

2,3,4 Примечание: M±m — показатели достоверно (при P<0,05; 0,001) отличаются по столбцам

14. ФИЗИОЛОГИЯ ПОЛОВОГО ВОЗБУЖДЕНИЯ

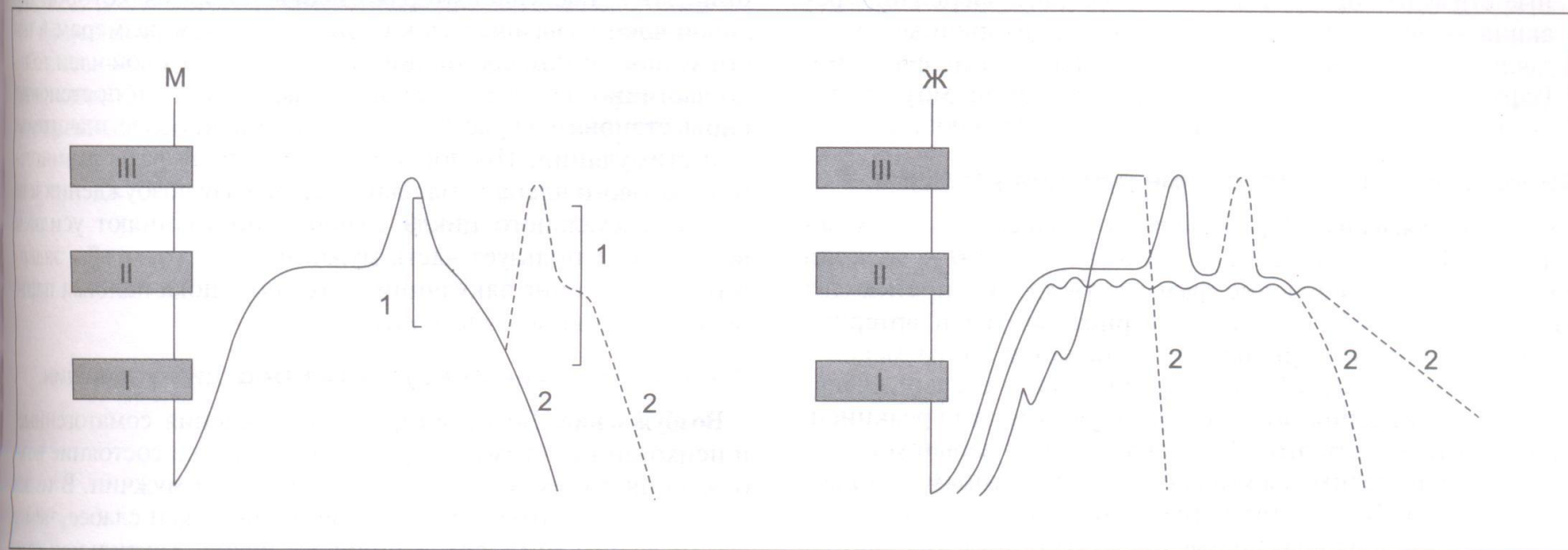


Рис.14-1. Сексуальная реакция. М — у мужчин; Ж — у женщин. I — возбуждение; II — плато; III — оргазм; 1 — рефрактерный период; 2 — расслабление.

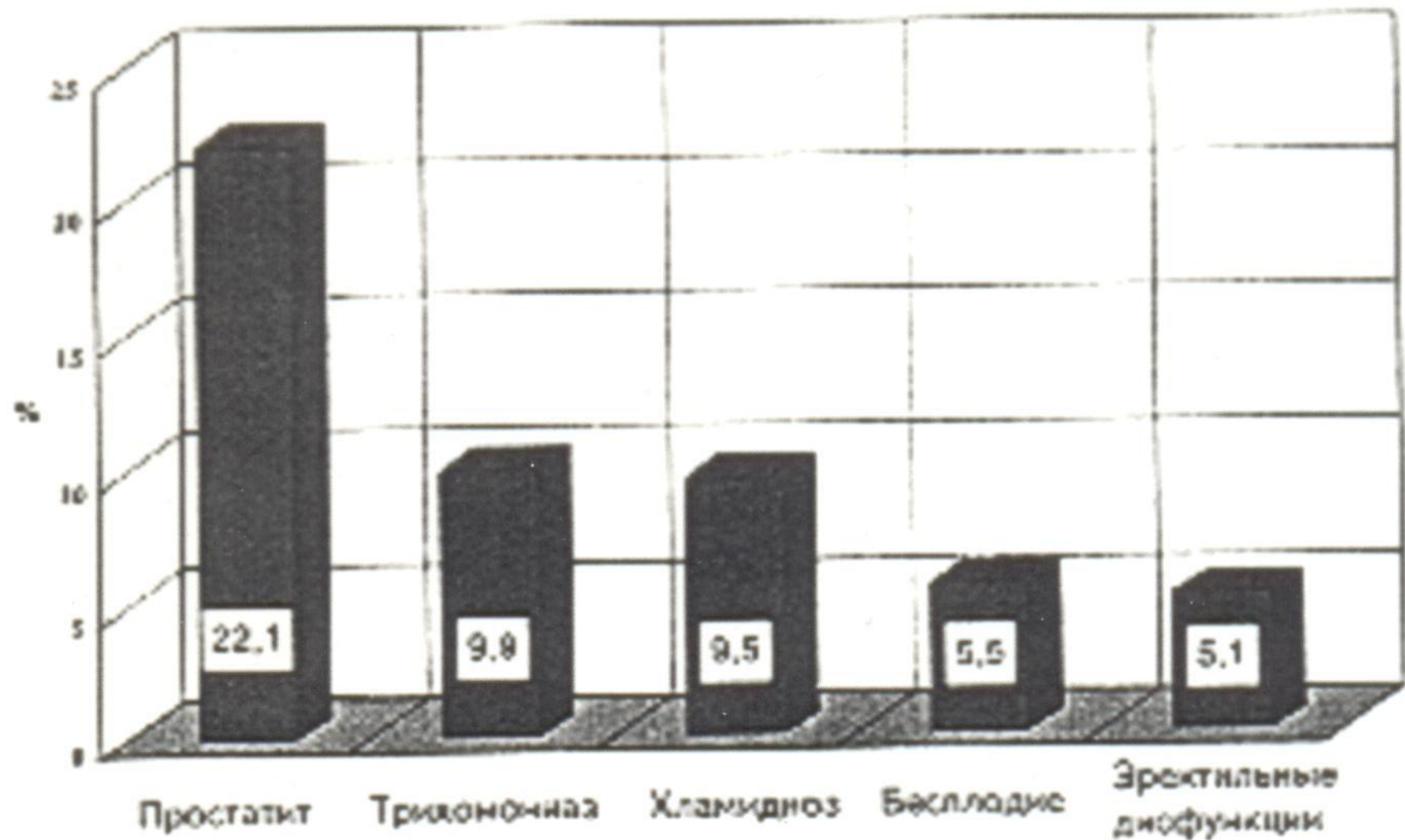
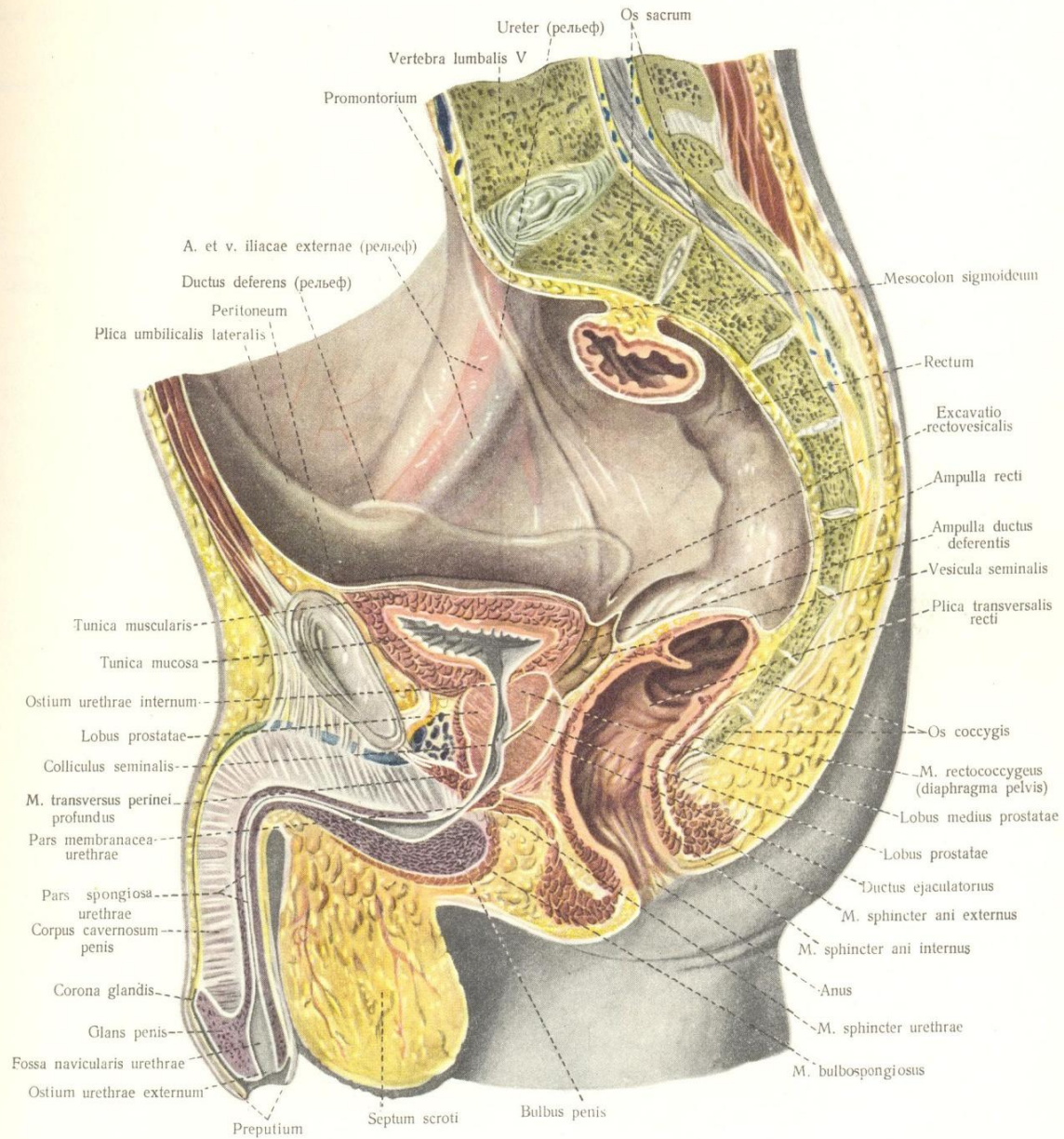


Рис. 1. Структура заболеваемости мужчин г. Красноярска по обращаемости в андрологический кабинет за 1997-99 гг.



548. Мужские половые органы, *organa genitalia masculina*; слева ($\frac{2}{3}$).
 (Сагиттально-срединный распил, правая сторона.)



Streptococcal skin disease manifests clinically as impetigo

A PROFILE OF CEFUROXIME AXETIL

In trials with
homosexual males
in San Francisco,
cefuroxime axetil
plus probenecid
cured 29 out of 30
cases of
gonococcal
urethritis



National Medical Stock Book

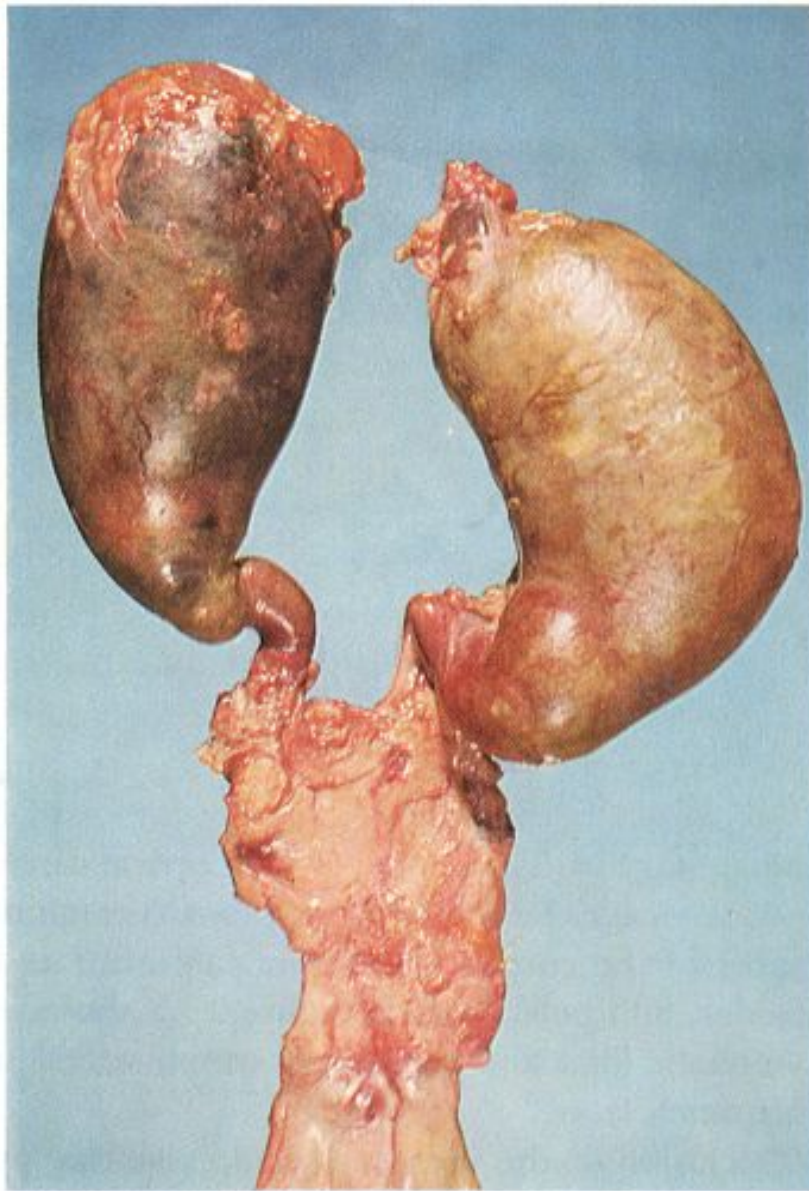


Figure 15.15. Pyosalpinx.

АВТОГРАФЫ, ОСТАВЛЕННЫЕ В ГОЛОВНОМ МОЗГЕ

Некоторые особенности профиля электрической активности головного мозга служат количественными признаками (эндофенотипом) физиологии больных алкоголизмом и лиц из группы риска. Подобные «автографы» помогают обнаружить гены, связанные с алкоголизмом и сопутствующими заболеваниями

P300-ОТВЕТ

При регистрации колебаний разности потенциалов с помощью наложенных на голову электродов на ЭЭГ обнаруживается пик в диапазоне 300-500 миллисекунд после стимуляции (например, световым импульсом). У больных алкоголизмом вызванный потенциал, известный как P300, имеет значительно меньшую амплитуду (даже в период воздержания), чем у непьющих людей. Слабый P300-ответ характерен также для детей алкоголиков. Таким образом, данный признак свидетельствует о тяжелой форме алкоголизма или указывает на повышенный риск развития патологии

